

# Vibrations des structures 1

## Vibrations des systèmes discrets

**Baptiste Bergeot**

Maître de Conférences - [baptiste.bergeot@insa-cvl.fr](mailto:baptiste.bergeot@insa-cvl.fr) - bureau D03

---

4A INSA Centre Val de Loire  
Génie des Systèmes Industriels (GSI)



# Plan du cours

## Introduction générale

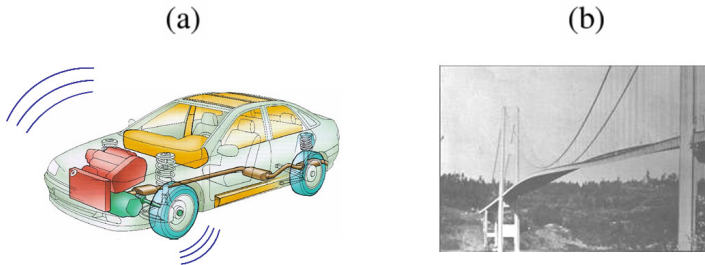
### Chapitre 1 – Systèmes à un degré de liberté

- 1.1 Introduction
- 1.2 Vibrations libres
- 1.3 Réponse forcée harmonique
- 1.4 Réponse transitoire

### Chapitre 2 – Systèmes discrets à plusieurs degrés de liberté

- 2.1 Introduction
- 2.2 Réponse forcée harmonique
- 2.3 Principe de décomposition modale

## Bibliographie



**Figure 1.1-** Exemples de problématiques industrielles : (a) vibrations d'une automobile générant du bruit ; (b) instabilité aéroélastique du pont de Tacoma (avant destruction !).

# Plan du cours

## Introduction générale

### Chapitre 1 – Systèmes à un degré de liberté

- 1.1 Introduction
- 1.2 Vibrations libres
- 1.3 Réponse forcée harmonique
- 1.4 Réponse transitoire

### Chapitre 2 – Systèmes discrets à plusieurs degrés de liberté

## Bibliographie

# Plan du cours

## Introduction générale

### Chapitre 1 – Systèmes à un degré de liberté

- 1.1 Introduction
- 1.2 Vibrations libres
- 1.3 Réponse forcée harmonique
- 1.4 Réponse transitoire

### Chapitre 2 – Systèmes discrets à plusieurs degrés de liberté

## Bibliographie

# Introduction

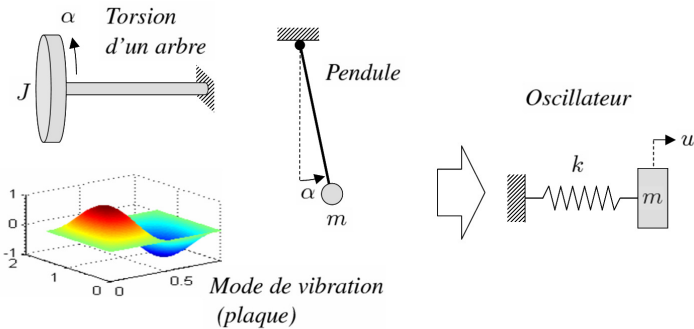


Figure 1.1- Exemples de systèmes à 1 DDL et oscillateur linéaire ( $m, k$ ) équivalent.

# Plan du cours

## Introduction générale

### Chapitre 1 – Systèmes à un degré de liberté

- 1.1 Introduction
- 1.2 Vibrations libres**
- 1.3 Réponse forcée harmonique
- 1.4 Réponse transitoire

### Chapitre 2 – Systèmes discrets à plusieurs degrés de liberté

## Bibliographie

## Cas des systèmes non amortis

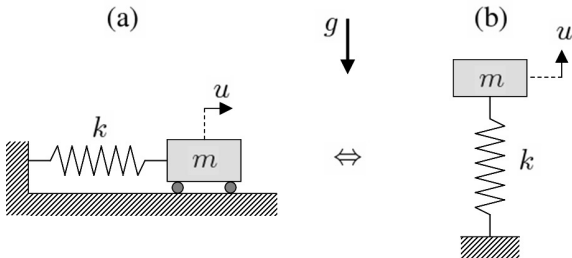


Figure 1.2- Système masse-ressort : (a) gravité non prise en compte ; (b) gravité prise en compte.

### Équations du mouvement d'un oscillateur harmonique

$$m\ddot{u} + ku = 0$$

⇒  $u$  : déplacement de la masse par rapport à sa position d'équilibre statique  $x_{eq}^{st}$

## Démonstration 1.1

Force de rappel d'un ressort : norme proportionnelle à son allongement

$$|F| = k(\ell - \ell_0)$$

$k$  : raideur du ressort (N/m ou kg/s<sup>2</sup>)

$\ell_0$  : longueur du ressort à vide

$\ell$  : longueur du ressort hors équilibre

$\ell_{\text{eq}}$  : longueur du ressort à l'équilibre

## Démonstration 1.1

Force de rappel d'un ressort : norme proportionnelle à son allongement

$$|F| = k(\ell - \ell_0)$$

$k$  : raideur du ressort (N/m ou kg/s<sup>2</sup>)

$\ell_0$  : longueur du ressort à vide

$\ell$  : longueur du ressort hors équilibre

$\ell_{eq}$  : longueur du ressort à l'équilibre

### ⇒ Configuration horizontale

**Principe Fondamental de la dynamique (PFD)** projeté sur l'axe (Ox) orienté vers la droite :

- À l'équilibre :

$$0 = -k(\ell_{eq}^{st} - \ell_0) = -k(x_{eq}^{st} - x_0) \Rightarrow x_{eq}^{st} = x_0$$

- Hors équilibre :

$$ma = -k(\ell - \ell_0) \Leftrightarrow m\ddot{x} = -k(x - x_{eq}^{st})$$

En posant  $u = x - x_{eq}^{st}$ , on obtient finalement :

$$m\ddot{u} + ku = 0$$

## Démonstration 1.1

### ⇒ Configuration verticale

**Principe Fondamental de la dynamique (PFD)** projeté sur l'axe (Ox) orienté vers le haut :

- À l'équilibre :

$$0 = -k(\ell_{eq}^{st} - \ell_0) - mg = -k(x_{eq}^{st} - x_0) - mg \quad \Rightarrow \quad x_{eq}^{st} = x_0 - \frac{mg}{k}$$

- Hors équilibre :

$$ma = -k(\ell - \ell_0) - mg = -k(x - x_0 + \frac{mg}{k}) \quad \Leftrightarrow \quad m\ddot{x} = -k(x - x_{eq}^{st})$$

En posant  $u = x - x_{eq}^{st}$ , on obtient également :

$$m\ddot{u} + ku = 0$$

## Démonstration 1.2

### ⇒ Configuration verticale

**Principe Fondamental de la dynamique (PFD)** projeté sur l'axe (Ox) orienté vers le haut :

- À l'équilibre :

$$0 = -k(\ell_{eq}^{st} - \ell_0) - mg = -k(x_{eq}^{st} - x_0) - mg \quad \Rightarrow \quad x_{eq}^{st} = x_0 - \frac{mg}{k}$$

- Hors équilibre :

$$ma = -k(\ell - \ell_0) - mg = -k(x - x_0 + \frac{mg}{k}) \quad \Leftrightarrow \quad m\ddot{x} = -k(x - x_{eq}^{st})$$

En posant  $u = x - x_{eq}^{st}$ , on obtient également :

$$m\ddot{u} + ku = 0$$

⇒ Oscillateur harmonique de pulsation

$$\omega_0 = \sqrt{\frac{k}{m}}$$

$$\ddot{u} + \omega_0^2 u = 0$$

# Cas des systèmes non amortis

## Solutions dans le cas non amorti

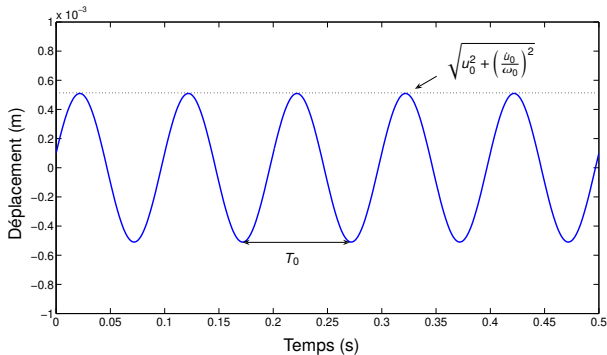
$$u(t) = u_0 \cos(\omega_0 t) + \frac{\dot{u}_0}{\omega_0} \sin(\omega_0 t)$$

avec

$$\omega_0 = \sqrt{\frac{k}{m}}$$

$$f_0 = \frac{\omega_0}{2\pi}$$

$$T_0 = \frac{2\pi}{\omega_0}$$



**Figure 1.3-** Vibrations libres d'un oscillateur ( $m, k$ ) soumis aux conditions initiales  $u(t = 0) = u_0$  et  $\dot{u}(t = 0) = \dot{u}_0$ .  
dd essai

## Démonstration 1.3

On a :

$$m\ddot{u} + ku = 0 \quad \Leftrightarrow \quad \boxed{\ddot{u} + \omega_0^2 u = 0} \quad \text{avec} \quad \omega_0 = \sqrt{\frac{k}{m}}$$

donc :

$$u = A \cos(\omega_0 t) + B \sin(\omega_0 t)$$

$$\dot{u} = -\omega_0 A \sin(\omega_0 t) + \omega_0 B \cos(\omega_0 t)$$

+ Conditions initiales :  $u(t=0) = u_0, \dot{u}(t=0) = \dot{u}_0 \quad \Rightarrow \quad \boxed{A = u_0}$  et  $\boxed{B = \frac{\dot{u}_0}{\omega_0}}$

d'où finalement :

$$\boxed{u(t) = u_0 \cos(\omega_0 t) + \frac{\dot{u}_0}{\omega_0} \sin(\omega_0 t)}$$

Pour calculer l'amplitude  $|u| = D$  de la solution on pose :

$$u(t) = D \cos(\omega_0 t + \varphi) = D (\cos(\omega_0 t) \cos(\varphi) - \sin(\omega_0 t) \sin(\varphi))$$

Par identification on a  $A = D \cos(\varphi)$  et  $B = -D \sin(\varphi)$  et donc

$$\boxed{D = |u| = \sqrt{A^2 + B^2} = \sqrt{u_0^2 + \left(\frac{\dot{u}_0}{\omega_0}\right)^2}}$$

et aussi

$$\boxed{\tan \varphi = -\frac{B}{A}}$$

## Cas des systèmes amortis

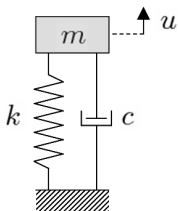


Figure 1.4- Système masse-ressort avec amortisseur visqueux.

### Amortisseur visqueux

Pour ce type d'amortissement, la force  $F_c$  induite sur la masse est telle qu'elle s'oppose à sa vitesse, c'est-à-dire :

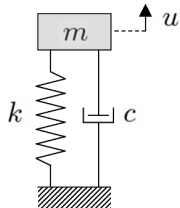
$$F_c = -c\dot{u}$$

$c$  : coefficient d'amortissement (N.s/m ou kg/s)

### Équations du mouvement

$$m\ddot{u} + c\dot{u} + ku = 0$$

## Démonstration 1.4



**Principe Fondamental de la dynamique (PFD)** projeté sur l'axe vertical orienté vers le haut :

$$m\ddot{u} = -c\dot{u} - ku \quad \Leftrightarrow \quad m\ddot{u} + c\dot{u} + ku = 0$$

# Cas des systèmes amortis

## Solutions générales du système amorti

$$\ddot{u} + 2\zeta\omega_0\dot{u} + \omega_0^2u = 0$$

avec

$$\omega_0 = \sqrt{\frac{k}{m}}$$

$$\zeta = \frac{c}{2\sqrt{km}}$$

$\zeta$  : taux d'amortissement

Plusieurs formes selon que  $\zeta < 1$ ,  $\zeta = 1$  ou  $\zeta > 1$  :

- **Mouvement sous-amorti** :  $\zeta < 1 \Rightarrow u = e^{-\zeta\omega_0 t} [A\cos(\omega_d t) + B\sin(\omega_d t)]$ ,

où  $\omega_d = \omega_0\sqrt{1 - \zeta^2}$  représente la pulsation propre apparente du système.

Dans ce cas, le mouvement est **pseudo-périodique** et l'**amplitude des oscillations suit une décroissance exponentielle**.

- **Mouvement critique** :  $\zeta = 1 \Rightarrow u = e^{-\omega_0 t} [A + Bt]$ .

Dans ce cas, le mouvement est **apériodique** : il n'y a pas de vibrations.

- **Mouvement sur-amorti** :  $\zeta > 1 \Rightarrow u = e^{-\zeta\omega_0 t} \left[ A e^{-(\sqrt{\zeta^2 - 1})\omega_0 t} + B e^{(\sqrt{\zeta^2 - 1})\omega_0 t} \right]$ .

Dans ce cas, le mouvement est **apériodique** : il n'y a pas de vibrations.

# Cas des systèmes amortis

## Solutions dans le cas sous-amorti

$$u = e^{-\zeta \omega_0 t} \left[ u_0 \cos(\omega_d t) + \frac{\zeta \omega_0 u_0 + \dot{u}_0}{\omega_d} \sin(\omega_d t) \right]$$

avec

$$\omega_d = \omega_0 \sqrt{1 - \zeta^2}$$

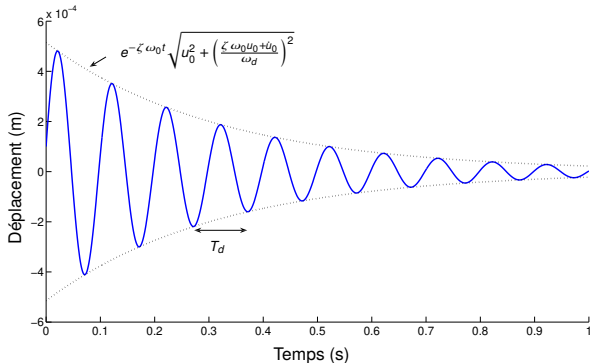


Figure 1.5- Vibrations libres d'un oscillateur ( $m, k, c$ ) faiblement amorti ( $\zeta = 0.05$ ), soumis à des conditions initiales arbitraires  $u(t = 0) = u_0$  et  $\dot{u}(t = 0) = \dot{u}_0$ .

## Démonstration 1.5

On a :

$$m\ddot{u} + c\dot{u} + ku = 0 \quad \Leftrightarrow \quad \ddot{u} + 2\zeta\omega_0\dot{u} + \omega_0^2u = 0 \quad \text{avec} \quad \omega_0 = \sqrt{\frac{k}{m}} \text{ et } \zeta = \frac{c}{2\sqrt{km}}$$

Le polynôme caractéristique  $P$  est  $r^2 + 2\zeta\omega_0r + \omega_0^2 = 0$  et son discriminant

$\Delta = 4\zeta^2\omega_0^2 - 4\omega_0^2 = 4\omega_0^2(-1 + \zeta^2)$  donc les racines de  $P$  sont :

$$r_1 = -\zeta\omega_0 - j\omega_0\sqrt{1 - \zeta^2} \quad r_2 = -\zeta\omega_0 + j\omega_0\sqrt{1 - \zeta^2}$$

$$\omega_d$$

En appliquant les règles usuelles de résolutions des équations différentielles du 2nd ordre on a bien si  $\zeta < 1$  :

$$u = e^{-\zeta\omega_0 t} [A\cos(\omega_d t) + B\sin(\omega_d t)]$$

$$\dot{u} = -\zeta\omega_0 e^{-\zeta\omega_0 t} [A\cos(\omega_d t) + B\sin(\omega_d t)] + e^{-\zeta\omega_0 t} [-\omega_d A\sin(\omega_d t) + \omega_d B\cos(\omega_d t)]$$

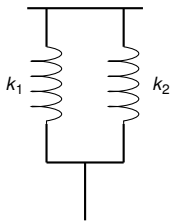
+ Conditions initiales :

$$u(t=0) = u_0 \Rightarrow A = u_0$$

$$\dot{u}(t=0) = \dot{u}_0 \Rightarrow \dot{u}_0 = -\zeta\omega_0 A + \omega_d B \Rightarrow B = \frac{\zeta\omega_0 u_0 + \dot{u}_0}{\omega_d}$$

# Ressorts et amortisseurs en parallèle et en série

En parallèle



$$k_{\text{eq}} = k_1 + k_2$$

En série



$$\frac{1}{k_{\text{eq}}} = \frac{1}{k_1} + \frac{1}{k_2} \quad \Leftrightarrow \quad k_{\text{eq}} = \frac{k_1 k_2}{k_1 + k_2}$$

**Travail personnel :** démontrer les résultats précédents.

# Cas des systèmes amortis

## Méthode du décrément logarithmique

**Objectif :** mesurer le taux d'amortissement  $\zeta$  par la mesure de l'amplitude à  $t$  et  $t + nT_d$

$$|u| = e^{-\zeta \omega_0 t} \text{Cste} \quad \Rightarrow \quad \frac{|u|_{t+nT_d}}{|u|_t} = e^{-\zeta \omega_0 nT_d} \quad \Rightarrow \quad \zeta = \frac{1}{\omega_0 nT_d} \ln \left\{ \frac{|u|_t}{|u|_{t+nT_d}} \right\}$$

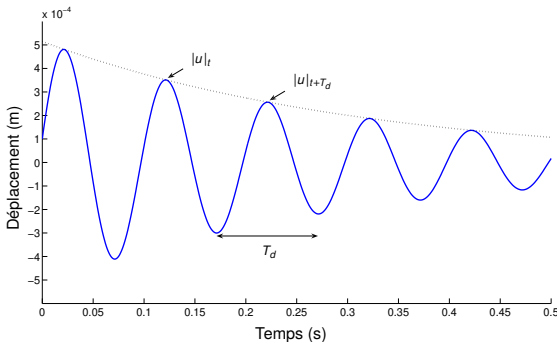


Figure 1.6- Variation d'amplitude de vibrations entre deux instants  $t$  et  $t + T_d$ , séparés d'une période  $T_d$ .

# Plan du cours

## Introduction générale

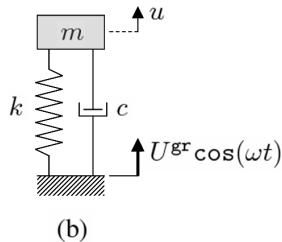
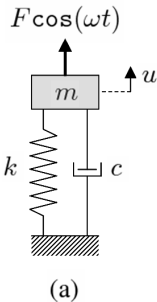
### Chapitre 1 – Systèmes à un degré de liberté

- 1.1 Introduction
- 1.2 Vibrations libres
- 1.3 Réponse forcée harmonique
- 1.4 Réponse transitoire

### Chapitre 2 – Systèmes discrets à plusieurs degrés de liberté

## Bibliographie

# Introduction



**Figure 1.7-** Système masse-ressort-amortisseur sous-excitation harmonique forcée : (a) excitation par force imposée à la masse ; (b) excitation par mouvement du support.

## Équations du mouvement

### Force imposée

$$m\ddot{u} + c\dot{u} + ku = f$$

### Mouvement du support imposé

$$m\ddot{u} + c\dot{u} + ku = c\dot{u}^{\text{gr}} + ku^{\text{gr}}$$

$f$  et  $u^{\text{gr}}$  sont harmoniques de pulsation  $\omega$ , c-à-d de la forme  $A \cos(\omega t)$

# Excitation par force imposée

$$m\ddot{u} + c\dot{u} + ku = F \cos \omega t$$

Solution Générale	=	Solution de l'équation homogène (sans second membre)	+	Solution particulière de l'équation avec second membre
$u$	=	$u^h$ <b>Régime transitoire</b>	+	$u^p$ <b>Régime stationnaire</b>

- **Régime transitoire** : connu,  $u^h = e^{-\zeta \omega_0 t} [A \cos(\omega_d t) + B \sin(\omega_d t)]$
- **Régime stationnaire** : on cherche une **solution harmonique de pulsation**  $\omega$  (la pulsation d'excitation) de la forme  $u^p = U^p \cos(\omega t - \varphi)$ .
- **Deux cas possibles** pour la résolution :
  - **Sans amortissement** ( $c = 0$ ) : fonctions trigonométriques ;  $u^p = U^p \cos(\omega t)$
  - **Avec amortissement** : fonction exponentielles complexes

$$\hat{u}^p = U^p e^{j(\omega t - \varphi)} = \hat{U}^p e^{j\omega t}$$

avec

$$u^p = \operatorname{Re} [\hat{u}^p]$$

$$\hat{U}^p = U^p e^{-j\varphi} : \text{amplitude complexe}$$

## Excitation par force imposée

- Équation du mouvement complexe :  $m\ddot{\hat{u}} + c\dot{\hat{u}} + k\hat{u} = Fe^{j\omega t}$  avec  $u = \operatorname{Re}[\hat{u}]$
- Solution particulière de la forme  $\hat{u}^p = \hat{U}^p e^{j\omega t}$  avec  $\hat{U}^p$  :

$$\hat{U}^p = \frac{F/k}{1 - (\omega/\omega_0)^2 + 2j\zeta\omega/\omega_0} = U^{\text{st}} A_\omega = U^{\text{st}} \beta e^{-j\varphi}$$

$$U^{\text{st}} = \frac{F}{k}, \quad \beta = \frac{1}{\sqrt{(1 - (\omega/\omega_0)^2)^2 + 4\zeta^2(\omega/\omega_0)^2}} \quad \text{et} \quad \varphi = \arg \{1 - (\omega/\omega_0)^2 + 2j\zeta\omega/\omega_0\}$$

- Solution particulière  $\hat{u}^p$  :

$$\hat{u}^p(t) = \beta U^{\text{st}} e^{j(\omega t - \varphi)} \Rightarrow u^p(t) = \beta U^{\text{st}} \cos(\omega t - \varphi)$$

- Solution générale  $u(t)$  :

$$u(t) = e^{-\zeta\omega_0 t} [A \cos(\omega_d t) + B \sin(\omega_d t)] + \beta U^{\text{st}} \cos(\omega t - \varphi)$$

Les constantes  $A$  et  $B$  sont déterminées à partir des conditions initiales.

## Démonstration 1.6 et 1.7

On a l'équation du mouvement complexe suivante :

$$m\ddot{u} + c\dot{u} + k\hat{u} = Fe^{j\omega t} \Leftrightarrow \ddot{u} + 2\zeta\omega_0\dot{u} + \omega_0^2\hat{u} = \frac{F}{m}e^{j\omega t}$$

On cherche une solution particulière oscillant à la pulsation de forçage  $\hat{U}^p = \hat{U}^p e^{j\omega t}$ . Cette dernière est introduite dans l'équations du mouvement :

$$-\omega^2\hat{U}^p e^{j\omega t} + j\omega 2\zeta\omega_0\hat{U}^p e^{j\omega t} + \omega_0^2\hat{U}^p e^{j\omega t} = \frac{F}{m}e^{j\omega t}$$

Après simplification par division par  $e^{j\omega t}$  et division par  $\omega_0^2$  et en notant que  $F/(m\omega_0^2) = F/k$  on a arrive bien à :

$$\hat{U}^p = \frac{F/k}{1 - (\omega/\omega_0)^2 + 2j\zeta\omega/\omega_0} = U^{\text{st}} A_\omega = U^{\text{st}} \beta e^{-j\varphi}$$

La solution particulière est  $\hat{U}^p(t) = \beta U^{\text{st}} e^{j(\omega t - \varphi)}$  et donc  $u^p(t) = \text{Re}[\hat{U}^p(t)] = \beta U^{\text{st}} \cos(\omega t - \varphi)$ .

La solution générale est donc :

$$u(t) = e^{-\zeta\omega_0 t} [A \cos(\omega_d t) + B \sin(\omega_d t)] + \beta U^{\text{st}} \cos(\omega t - \varphi)$$

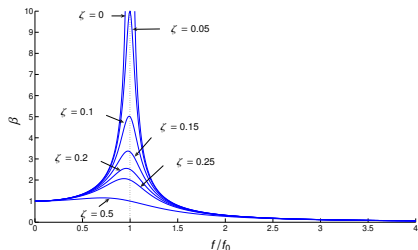
+ Conditions initiales :  $u(t=0) = u_0$  et  $\dot{u}(t=0) = \dot{u}_0$  qui mène à :

$$A = u_0 - \beta U^{\text{st}} \cos(\varphi) \quad , \quad B = \frac{\zeta u_0 \omega_0 + \dot{u}_0 - \beta U^{\text{st}} (\zeta \omega_0 \cos(\varphi) + \omega \sin(\varphi))}{\omega_d}$$

## Excitation par force imposée

$$\beta = \frac{1}{\sqrt{(1 - (\omega/\omega_0)^2)^2 + 4\zeta^2(\omega/\omega_0)^2}} \quad , \quad \varphi = \arg \{1 - (\omega/\omega_0)^2 + 2j\zeta\omega/\omega_0\}$$

(a)



(b)

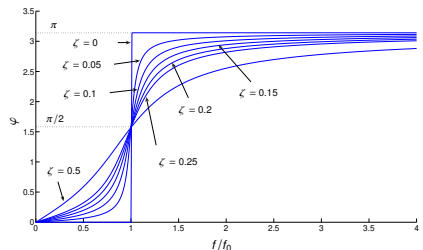


Figure 1.8- (a) Variation fréquentielle de  $\beta$  (b) Variation fréquentielle de  $\varphi$ .

- Amplitude maximale : 
$$\max\{\beta\} = \beta|_{f=f_0^{re}} = \frac{1}{2\zeta\sqrt{1-\zeta^2}}$$

- Fréquence de résonance : 
$$f_0^{re} = f_0\sqrt{1-2\zeta^2}$$

$$\neq f_d = f_0\sqrt{1-\zeta^2}$$

## Démonstration 1.8

- On rappelle l'expression de  $\beta$  :

$$\beta = \frac{1}{\sqrt{(1 - (\omega/\omega_0)^2)^2 + 4\zeta^2(\omega/\omega_0)^2}}$$

- Le maximum de  $\beta$  s'obtient lorsque le terme  $(1 - (\omega/\omega_0)^2)^2 + 4\zeta^2(\omega/\omega_0)^2$  atteint un minimum.
- En effectuant le changement de variable  $\Omega = (\omega/\omega_0)^2$ , cela revient à résoudre

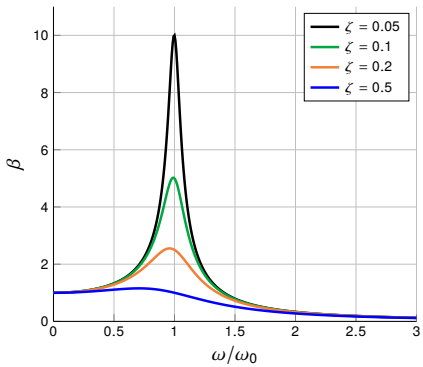
$$\frac{\partial}{\partial \Omega} [(1 - \Omega)^2 + 4\zeta^2\Omega] = 0 \quad \Rightarrow \quad \Omega^{re} = 1 - 2\zeta^2$$

- On obtient alors

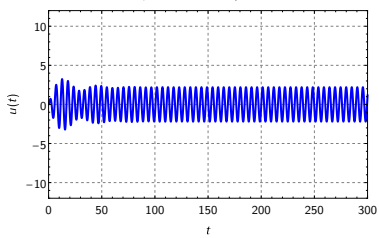
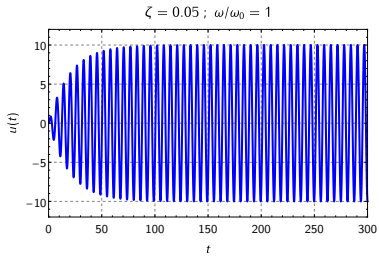
$$\max\{\beta\} = \frac{1}{\sqrt{(1 - \Omega^{re})^2 + 4\zeta^2\Omega^{re}}} = \frac{1}{\sqrt{(2\zeta^2)^2 + 4\zeta^2(1 - 2\zeta^2)}} = \frac{1}{2\zeta\sqrt{1 - \zeta^2}}$$

# Excitation par force imposée

$$u(t) = e^{-\zeta \omega_0 t} [A \cos(\omega_d t) + B \sin(\omega_d t)] + \beta \frac{F}{k} \cos(\omega t - \varphi)$$



Fréquence de résonance :  $f_0^{re} = f_0 \sqrt{1 - 2\zeta^2}$



# Excitation par force imposée

## Méthode de la largeur de bande à $-3\text{dB}$

- On relève les valeurs de fréquences à  $\beta = \max\{\beta\}/\sqrt{2}$  ( $20\log_{10}\{1/\sqrt{2}\} \approx -3\text{dB}$ ) : il y en a deux. L'écart entre ces deux fréquences, noté  $\Delta f$ .

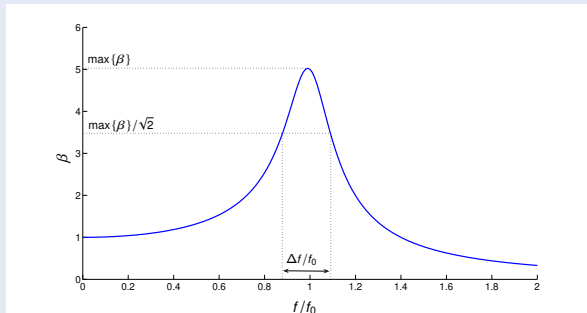


Figure 1.9- Illustration de la largeur de bande à  $\max\{\beta\}/\sqrt{2}$ .

- On déduit :

$$\zeta = \frac{1}{2} \frac{\Delta f}{f_0}$$

## → Démonstration 1.9 – Méthode de la largeur de bande à $-3\text{dB}$

En posant  $\Omega = (\omega/\omega_0)^2$ , on a

$$\beta = \frac{1}{\sqrt{(1 - \Omega)^2 + 4\zeta^2\Omega}}$$

Comme

$$\frac{\max\{\beta\}}{\sqrt{2}} = \frac{1}{2\sqrt{2}\zeta\sqrt{1 - \zeta^2}}$$

réoudre  $\beta = \max(\beta)/\sqrt{2}$  revient à chercher les deux valeurs de  $\Omega$  telles que :

$$(1 - \Omega)^2 + 4\zeta^2\Omega = 8\zeta^2(1 - \zeta^2)$$

qui s'écrit encore :

$$\Omega^2 + (4\zeta^2 - 2)\Omega + 1 - 8\zeta^2(1 - \zeta^2) = 0$$

dont les racines sont :

$$\Omega_{1/2} = (1 - 2\zeta^2) \pm 2\zeta\sqrt{1 - \zeta^2}$$

En supposant  $\zeta \ll 1$ , on obtient finalement :

$$\Omega_{1/2} \approx 1 \pm 2\zeta \quad \Rightarrow \quad \sqrt{\Omega_{1/2}} \approx 1 \pm \zeta \quad \Rightarrow \quad \frac{\Delta\omega}{\omega_0} \approx 2\zeta \quad (\Delta\omega = \omega_2 - \omega_1) \quad \Rightarrow$$

$$\zeta = \frac{1}{2} \frac{\Delta f}{f_0}$$

## Excitation par déplacement imposé

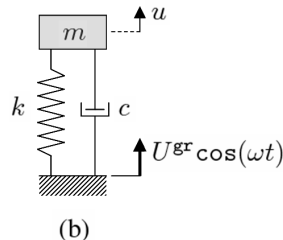
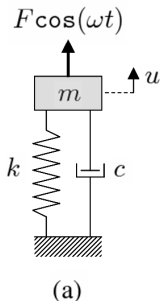


Figure 1.10- Système masse-ressort-amortisseur sous-excitation harmonique forcée : (a) excitation par force imposée à la masse ; (b) excitation par mouvement du support.

### Équations du mouvement

#### Force imposée

$$m\ddot{u} + c\dot{u} + ku = f$$

#### Mouvement du support imposé

$$m\ddot{u} + c\dot{u} + ku = c\dot{u}^{\text{gr}} + ku^{\text{gr}}$$

$f$  et  $u^{\text{gr}}$  sont harmoniques de pulsation  $\omega$ , c-à-d de la forme  $A \cos(\omega t)$

# Excitation par déplacement imposé

## Équation du mouvement dans le référentiel du support en mouvement

L'équation du mouvement, dans le *référentiel fixe*, est :

$$m\ddot{u} + c\dot{u} + ku = c\dot{u}^{\text{gr}} + ku^{\text{gr}}$$

On se place dans le *référentiel du support en mouvement* en posant

$$u^* = u - u^{\text{gr}} \quad (\text{déplacement relatif})$$

et on obtient :

$$m\ddot{u}^* + c\dot{u}^* + ku^* = -m\ddot{u}^{\text{gr}}$$

qui devient

$$m\ddot{u}^* + c\dot{u}^* + ku^* = m\omega^2 U^{\text{gr}} \cos(\omega t)$$

si  $u^{\text{gr}} = U^{\text{gr}} \cos(\omega t)$

## Démonstration 1.10

L'allongement du ressort est  $u - u^{gr}$  et la vitesse relative de la masse par rapport au bâti (qui est en mouvement) est  $\dot{u} - \dot{u}^{gr}$ .

L'application du PFD à la masse donne donc :

$$m\ddot{u} = -k(u - u^{gr}) - c(\dot{u} - \dot{u}^{gr}) \Rightarrow m\ddot{u} + c\dot{u} + ku = c\dot{u}^{gr} + ku^{gr}$$

En utilisant le déplacement relatif  $u^* = u - u^{gr}$  on obtient finalement :

$$m\ddot{u}^* + c\dot{u}^* + ku^* = -m\ddot{u}^{gr}$$

qui devient

$$m\ddot{u}^* + c\dot{u}^* + ku^* = m\omega^2 U^{gr} \cos(\omega t)$$

si  $u^{gr} = U^{gr} \cos(\omega t)$ .

## Excitation par déplacement imposé

- Équation du mouvement complexe :  $m\ddot{\hat{u}}^* + c\dot{\hat{u}}^* + k\hat{u}^* = m\omega^2 U^{gr} e^{j\omega t}$  avec  $u^* = \operatorname{Re}[\hat{u}^*]$
- Solution particulière de la forme  $\hat{u}^{*P} = \hat{U}^{*P} e^{j\omega t}$  avec  $\hat{U}^{*P} e^{j\omega t}$  :

$$\hat{U}^{*P} = \frac{(\omega/\omega_0)^2 U^{gr}}{1 - (\omega/\omega_0)^2 + 2j\zeta\omega/\omega_0} = U^{gr} A_\omega^* = U^{gr} \beta^* e^{-j\varphi^*}$$

$$\beta^* = \frac{(\omega/\omega_0)^2}{\sqrt{(1 - (\omega/\omega_0)^2)^2 + 4\zeta^2(\omega/\omega_0)^2}} \quad \text{et} \quad \varphi^* = \varphi$$

- Solution particulière  $\hat{u}^{*P}$  :

$$\hat{u}^{*P}(t) = \beta^* U^{gr} e^{j(\omega t - \varphi)} \Rightarrow u^{*P}(t) = \beta^* U^{gr} \cos(\omega t - \varphi)$$

- Solution générale  $u(t)$  :

$$\begin{aligned} u(t) &= u^*(t) + u^{gr}(t) \\ &= e^{-\zeta\omega_0 t} [A\cos(\omega_d t) + B\sin(\omega_d t)] + U^{gr} [\beta^* \cos(\omega t - \varphi) + \cos(\omega t)] \end{aligned}$$

Les constantes  $A$  et  $B$  sont déterminée à partir des conditions initiales.

## Démonstration 1.11

On a l'équation du mouvement complexe suivante :

$$m\ddot{u}^* + c\dot{u}^* + k\hat{u}^* = m\omega^2 U^{gr} e^{j\omega t} \Leftrightarrow \ddot{u}^* + 2\zeta\omega_0\dot{u}^* + \omega_0^2\hat{u}^* = \omega^2 U^{gr} e^{j\omega t}$$

On cherche une solution particulière oscillant à la pulsation de forçage  $\hat{U}^{p*} = \hat{U}^{p*} e^{j\omega t}$ . Cette dernière est introduite dans l'équations du mouvement :

$$-\omega^2 \hat{U}^{p*} e^{j\omega t} + j\omega 2\zeta\omega_0 \hat{U}^{p*} e^{j\omega t} + \omega_0^2 \hat{U}^{p*} e^{j\omega t} = \omega^2 U^{gr} e^{j\omega t}$$

Après simplification par division par  $e^{j\omega t}$  et division par  $\omega_0^2$  on a arrive bien à :

$$\hat{U}^{p*} = \frac{(\omega/\omega_0)^2 U^{gr}}{1 - (\omega/\omega_0)^2 + 2j\zeta\omega/\omega_0} = U^{gr} A_\omega^* = U^{gr} \beta^* e^{-j\varphi^*}$$

La solution particulière est  $\hat{u}^{*p}(t) = \beta^* U^{gr} e^{j(\omega t - \varphi)}$  et donc  $u^{*p}(t) = \beta^* U^{gr} \cos(\omega t - \varphi)$ .

La solution générale  $u(t)$  est donc :

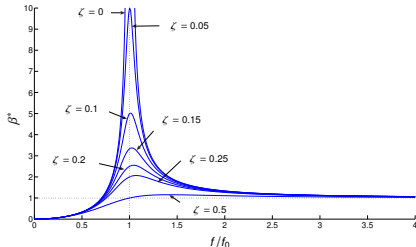
$$\begin{aligned} u(t) &= u^*(t) + u^{gr}(t) \\ &= e^{-\zeta\omega_0 t} [A \cos(\omega_d t) + B \sin(\omega_d t)] + U^{gr} [\beta^* \cos(\omega t - \varphi) + \cos(\omega t)] \end{aligned}$$

+ Conditions initiales :  $u(t=0) = u_0$  et  $\dot{u}(t=0) = \dot{u}_0$  qui mène à :

$$A = u_0 - \beta U^{gr} (1 + \cos(\varphi)) \quad , \quad B = \frac{\zeta\omega_0(u_0 - U^{gr}) + \dot{u}_0 - \beta U^{gr}(\zeta\omega_0 \cos(\varphi) + \omega \sin(\varphi))}{\omega_d}$$

## Excitation par déplacement imposé

$$\beta^* = \frac{(\omega/\omega_0)^2}{\sqrt{(1 - (\omega/\omega_0)^2)^2 + 4\zeta^2(\omega/\omega_0)^2}}$$

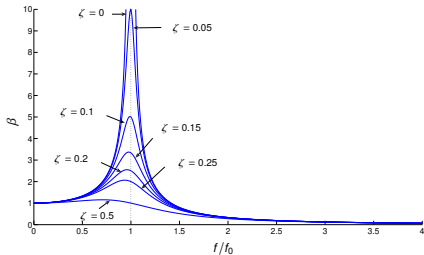


**Figure 1.11-** Variation fréquentielle du coefficient d'amplification dynamique : cas d'une excitation par déplacement imposé.

- Amplitude maximale : 
$$\max\{\beta^*\} = \beta^*|_{f=f_0^{re}} = \frac{1}{(1 - 2\zeta^2)\sqrt{1/(1 - 2\zeta^2)^2 - 1}}$$
- Fréquence de résonance : 
$$f_0^{re} = f_0 / \sqrt{1 - 2\zeta^2}$$
      
$$\neq f_d = f_0 \sqrt{1 - \zeta^2}$$

## Force imposée

$$\beta = \frac{1}{\sqrt{(1 - (\omega/\omega_0)^2)^2 + 4\zeta^2(\omega/\omega_0)^2}}$$

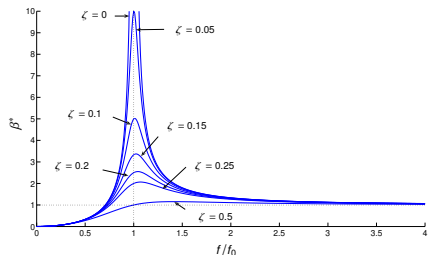


- $f/f_0 \rightarrow 0$  ;  $\beta \rightarrow 1$  ;  $|U| \rightarrow U_F^{\text{st}}$
- $f/f_0 \rightarrow \infty$  ;  $\beta \rightarrow 0$  ;  $|U| \rightarrow 0$
- Fréquence de résonance :

$$f_0^{\text{re}} = f_0 \sqrt{1 - 2\zeta^2}$$

## Mouvement support imposé

$$\beta^* = \frac{(\omega/\omega_0)^2}{\sqrt{(1 - (\omega/\omega_0)^2)^2 + 4\zeta^2(\omega/\omega_0)^2}}$$



- $f/f_0 \rightarrow 0$  ;  $\beta^* \rightarrow 0$  ;  $|U^*| \rightarrow 0$  ;  $u = u^{\text{gr}}$
- $f/f_0 \rightarrow \infty$  ;  $\beta^* \rightarrow 1$  ;  $|U^*| \rightarrow U^{\text{gr}}$
- Fréquence de résonance :

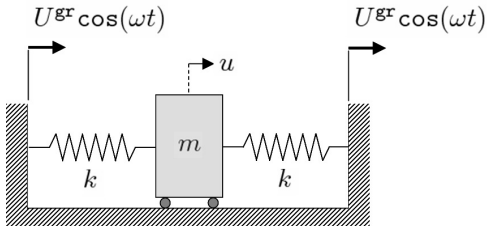
$$f_0^{\text{re}} = f_0 / \sqrt{1 - 2\zeta^2}$$

# Excitation par déplacement imposé

## Exercice 1.1.

Soit le système décrit par la figure ci-dessous.

- 1 Exprimer l'équation du mouvement du système masse-ressorts illustré ci-dessous, excité par déplacement imposé.
- 2 Donner la solution générale et donner la valeur du déplacement  $u$  en fonction des conditions initiales  $u(t = 0) = u_0$  et  $\dot{u}(t = 0) = 0$ .



## Excitation par accélération imposé $\gamma^{\text{gr}} = \Gamma^{\text{gr}} \cos(\omega t)$

- Équation du mouvement complexe :  $m\ddot{\hat{u}}^* + c\dot{\hat{u}}^* + k\hat{u}^* = -m\Gamma^{\text{gr}} e^{j\omega t}$  avec  $u^* = \text{Re} [\hat{u}^*]$
- Amplitude complexe  $U^P^*$  :

$$U^P^* = \frac{-\Gamma^{\text{gr}}/\omega_0^2}{1 - (\omega/\omega_0)^2 + 2j\zeta\omega/\omega_0} = \frac{-\Gamma^{\text{gr}}}{\omega_0^2} A_\omega^* = \frac{-\Gamma^{\text{gr}}}{\omega_0^2} \beta^* e^{-j\varphi^*}$$

$$\beta^* = \beta \quad \text{et} \quad \varphi^* = \varphi$$

- Solution particulière  $\hat{u}^P$  :

$$\hat{u}^P(t) = \frac{-\Gamma^{\text{gr}}}{\omega_0^2} \beta e^{j(\omega t - \varphi)} \quad \Rightarrow \quad u^P(t) = \frac{-\Gamma^{\text{gr}}}{\omega_0^2} \beta \cos(\omega t - \varphi)$$

- Solution générale  $u(t)$  :

$$\begin{aligned} u(t) &= u^*(t) + u^{\text{gr}}(t) = u^*(t) + \frac{\Gamma^{\text{gr}}}{\omega^2} (1 - \cos(\omega t)) \\ &= e^{-\zeta\omega_0 t} [A \cos(\omega_d t) + B \sin(\omega_d t)] - \frac{\Gamma^{\text{gr}}}{\omega_0^2} [\beta \cos(\omega t - \varphi) + \cos(\omega t)] \end{aligned}$$

Les constantes  $A$  et  $B$  sont déterminées à partir des conditions initiales.

# Digression sur la notion d'excitations périodiques

## Principe de superposition

- Soit un oscillateur harmonique excité par  $f = f_1 + f_2 + \dots + f_N$

$$\ddot{u} + 2\zeta\omega_0\dot{u} + \omega_0^2 u = f_1 + f_2 + \dots + f_N$$

- On considère les  $N$  sous-système suivants :

$$\ddot{u}_1 + 2\zeta\omega_0\dot{u}_1 + \omega_0^2 u_1 = f_1$$

$$\ddot{u}_2 + 2\zeta\omega_0\dot{u}_2 + \omega_0^2 u_2 = f_2$$

$$\vdots$$

$$\ddot{u}_N + 2\zeta\omega_0\dot{u}_N + \omega_0^2 u_N = f_N$$

- Le **principe de superposition** stipule que :

$$u^P(t) = u_1^P(t) + u_2^P(t) + \dots + u_N^P(t)$$

# Digression sur la notion d'excitations périodiques

## Équations du mouvement

$$m\ddot{u} + c\dot{u} + ku = f(t)$$

avec  $f(t)$  un fonction périodique.

## Stratégie de résolution :

- On fait la **série de Fourier de  $f(t)$**   $\Rightarrow f(t) = F_0 + \sum_{r \geq 1} [F_r \cos(r\omega t) + F'_r \sin(r\omega t)]$
- $$F_0 = \frac{1}{T} \int_0^T f(t) dt, \quad F_r = \frac{2}{T} \int_0^T f(t) \cos(r\omega t) dt, \quad F'_r = \frac{2}{T} \int_0^T f(t) \sin(r\omega t) dt$$
- On considère plusieurs « **sous-problèmes harmoniques** »
  - La **solution stationnaire** du mouvement (sous sa forme complexe), notée  $\hat{u}^P$ , s'obtient sur la base du **principe de superposition** :

$$u^P = u_0 + \sum_{r \geq 1} \operatorname{Re} [U_r e^{rj\omega t}] + \operatorname{Im} [U'_r e^{rj\omega t}]$$

# Digression sur la notion d'excitations périodiques

## Stratégie de résolution (suite) :

- $u_0$  représente une solution particulière de l'équation suivante :

$$m\ddot{u} + c\dot{u} + ku = F_0.$$

- Les termes  $\hat{U}_r e^{jr\omega t}$  et  $\hat{U}'_r e^{jr\omega t}$  représentent des solutions particulières pour les sous-problèmes harmoniques suivants :

$$\begin{aligned} m\ddot{\hat{u}} + c\dot{\hat{u}} + k\hat{u} &= F_r e^{jr\omega t} & \forall r \geq 1, \\ m\ddot{\hat{u}'} + c\dot{\hat{u}'} + k\hat{u}' &= F'_r e^{jr\omega t} & \forall r \geq 1. \end{aligned}$$

- L'obtention de ces solutions particulières ne pose pas de problèmes, c'est-à-dire :

$$u_0 = F_0/k,$$

$$\hat{U}_r = \frac{F_r/k}{1 - (r\omega/\omega_0)^2 + 2j\zeta r\omega/\omega_0} \Leftrightarrow \hat{U}_r = A_{r\omega} U_r^{\text{st}} \quad \forall r \geq 1,$$

$$\hat{U}'_r = \frac{F'_r/k}{1 - (r\omega/\omega_0)^2 + 2j\zeta r\omega/\omega_0} \Leftrightarrow \hat{U}'_r = A_{r\omega} U_r'^{\text{st}} \quad \forall r \geq 1,$$

## Digression sur la notion d'excitations périodiques

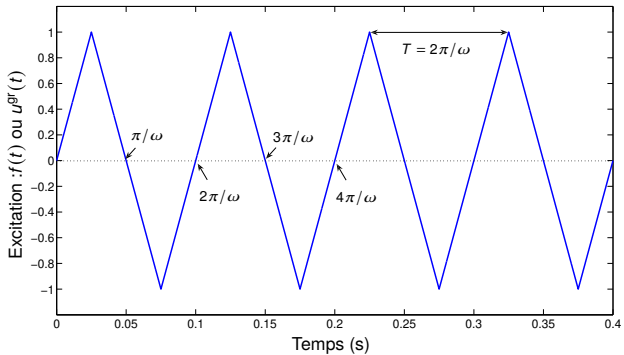


Figure 1.12- Illustration d'une excitation périodique non harmonique.

### Exercice 1.2.

Donner la représentation en série de Fourier du signal périodique illustré sur la Figure 2.11.

# Plan du cours

## Introduction générale

### Chapitre 1 – Systèmes à un degré de liberté

- 1.1 Introduction
- 1.2 Vibrations libres
- 1.3 Réponse forcée harmonique
- 1.4 Réponse transitoire

### Chapitre 2 – Systèmes discrets à plusieurs degrés de liberté

## Bibliographie

# Excitation par force imposée

## Équations du mouvement

$$\ddot{u} + 2\zeta\omega_0\dot{u} + \omega_0^2 u = \frac{f(t)}{m} = \bar{f}(t) \quad \text{avec } f(t) \text{ un fonction quelconque.}$$

## Stratégie de résolution :

- Calcul de la **fonction de Green** :

$$\ddot{g}(t) + 2\zeta\omega_0\dot{g}(t) + \omega_0^2 g(t) = \delta(t) \quad \text{avec } g(0) = 0 \text{ (causalité)}$$

- On peut montrer que : 
$$g(t) = e^{-\zeta\omega_0 t} \frac{1}{\omega_d} \mathcal{H}(t) \sin[\omega_d t] \quad (\mathcal{H}(t) : \text{fonction de Heaviside})$$
- **Intégrale de superposition :** 
$$u^p(t) = \int_0^t \bar{f}(\tau)g(t-\tau)d\tau.$$
- Solution générale avec  $u(t=0) = u_0$  et  $\dot{u}(t=0) = \dot{u}_0$  :

$$u(t) = e^{-\zeta\omega_0 t} \left[ u_0 \cos(\omega_d t) + \frac{\zeta\omega_0 u_0 + \dot{u}_0}{\omega_d} \sin(\omega_d t) + \frac{1}{\omega_d} \int_0^t e^{\zeta\omega_0 \tau} \bar{f}(\tau) \sin[\omega_d(t-\tau)] d\tau \right]$$

## Démonstration 1.12 - Calcul de la fonction de Green

On part de :

$$\ddot{g}(t) + 2\zeta \omega_0 \dot{g}(t) + \omega_0^2 g(t) = \delta(t) \quad \text{pour } t \in \mathbb{R} \quad (1.1)$$

qui devient, pour  $t > 0$  :

$$\boxed{\ddot{g}(t) + 2\zeta \omega_0 \dot{g}(t) + \omega_0^2 g(t) = 0 \quad \text{pour } t > 0} \quad (1.2)$$

Pour trouver les conditions initiales de (1.2) on intègre (1.1) sur un petit intervalle autour de 0, cela donne

$$\underbrace{\int_{0^-}^{0^+} \ddot{g}(t) dt + 2\zeta \omega_0 \int_{0^-}^{0^+} \dot{g}(t) dt + \omega_0^2 \int_{0^-}^{0^+} g(t) dt}_{\dot{g}(0^+) - \dot{g}(0^-)} + \underbrace{\omega_0^2 \int_{0^-}^{0^+} g(t) dt}_{g(0^+) - g(0^-)} + \underbrace{\int_{0^-}^{0^+} \delta(t) dt}_{\rightarrow 0 \text{ quand } \epsilon \rightarrow 0} = 1$$

Continuité de  $g$  en  $t = 0$  :  $g(0^-) = g(0^+) \Rightarrow \boxed{g(0^+) - g(0^-) = 0}$

Causalité :  $\dot{g}(0^-) = 0 \Rightarrow \boxed{\dot{g}(0^+) = 1}$ .

Finalement les conditions initiales pour (1.2) sont  $\boxed{g(0) = 0 \quad \text{and} \quad \dot{g}(0) = 1}$  et (si  $\zeta < 1$ )

$$g(t) = e^{-\zeta \omega_0 t} \frac{1}{\omega_d} \mathcal{H}(t) \sin[\omega_d t]$$

**Remarque :** le fonction de Heaviside  $\mathcal{H}(t)$  sert à expliciter la causalité de la fonction de Green.

## Démonstration 1.12 - Intégrale de superposition

$$\ddot{g}(t - \tau) + 2\zeta\omega_0\dot{g}(t - \tau) + \omega_0^2g(t - \tau) = 0 \quad \text{pour } \tau < t$$

$$\frac{d^2g(t - \tau)}{dt^2} + 2\zeta\omega_0\frac{dg(t - \tau)}{dt} + \omega_0^2g(t - \tau) = 0$$

$$\frac{d^2[\bar{f}(\tau)g(t - \tau)]}{dt^2} + 2\zeta\omega_0\frac{d[\bar{f}(\tau)g(t - \tau)]}{dt} + \omega_0^2\bar{f}(\tau)g(t - \tau) = 0$$

$$\int_0^t \frac{d^2[\bar{f}(\tau)g(t - \tau)]}{dt^2} d\tau + \int_0^t 2\zeta\omega_0 \frac{d[\bar{f}(\tau)g(t - \tau)]}{dt} d\tau + \int_0^t \omega_0^2\bar{f}(\tau)g(t - \tau) d\tau = 0$$

Règle de Leibniz :  $\frac{d}{dt} \int_0^t \bar{f}(\tau)g(t - \tau) d\tau = \underbrace{\bar{f}(t)g(0)}_{=0} + \int_0^t \bar{f}(\tau)\dot{g}(t - \tau) d\tau$

$$\frac{d^2}{dt^2} \int_0^t \bar{f}(\tau)g(t - \tau) d\tau = \underbrace{\bar{f}(t)\dot{g}(0)}_{=\ddot{f}(t)} + \int_0^t \bar{f}(\tau)\ddot{g}(t - \tau) d\tau$$

En notant  $y(t) = \int_0^t \bar{f}(\tau)g(t - \tau) d\tau$  on obtient :  $\ddot{y} + 2\zeta\omega_0\dot{y} + \omega_0^2y = \bar{f}(t)$  qui est de l'équation initiale.

On peut donc choisir  $y(t)$  comme solution particulière de l'équation initiale. La solution générale s'écrit donc :

$$u(t) = e^{-\zeta\omega_0 t} [A\cos(\omega_d t) + B\sin(\omega_d t)] + \int_0^t \bar{f}(\tau)g(t - \tau) d\tau$$

## Démonstration 1.12 - Fin

En remarquant que  $\int_0^t f(\tau) \mathcal{H}(t - \tau) d\tau = \int_0^t f(\tau) d\tau$  et en appliquant les règles usuelles de résolutions des équations différentielles du 2nd ordre on a bien si  $\zeta < 1$  :

$$u = e^{-\zeta \omega_0 t} \left[ A \cos(\omega_d t) + B \sin(\omega_d t) + \frac{1}{m \omega_d} \int_0^t e^{\zeta \omega_0 \tau} f(\tau) \sin[\omega_d(t - \tau)] d\tau \right]$$

$$\begin{aligned} \dot{u} &= -\zeta \omega_0 e^{-\zeta \omega_0 t} [A \cos(\omega_d t) + B \sin(\omega_d t)] + e^{-\zeta \omega_0 t} [-\omega_d A \sin(\omega_d t) + \omega_d B \cos(\omega_d t)] \\ &\quad + \frac{1}{m \omega_d} \frac{d}{dt} \left( e^{-\zeta \omega_0 t} \int_0^t e^{\zeta \omega_0 \tau} f(\tau) \sin[\omega_d(t - \tau)] d\tau \right) \end{aligned}$$

avec  $\omega_d = \omega_0 \sqrt{1 - \zeta^2}$

+ Conditions initiales :

$$u(t = 0) = u_0 \Rightarrow A = u_0$$

$$\dot{u}(t = 0) = \dot{u}_0 \Rightarrow \dot{u}_0 = -\zeta \omega_0 A + \omega_d B \Rightarrow B = \frac{\zeta \omega_0 u_0 + \dot{u}_0}{\omega_d}$$

et on retrouve :

$$u(t) = e^{-\zeta \omega_0 t} \left[ u_0 \cos(\omega_d t) + \frac{\zeta \omega_0 u_0 + \dot{u}_0}{\omega_d} \sin(\omega_d t) + \frac{1}{m \omega_d} \int_0^t e^{\zeta \omega_0 \tau} f(\tau) \sin[\omega_d(t - \tau)] d\tau \right]$$

# Plan du cours

Introduction générale

Chapitre 1 – Systèmes à un degré de liberté

**Chapitre 2 – Systèmes discrets à plusieurs degrés de liberté**

- 2.1 Introduction
- 2.2 Réponse forcée harmonique
- 2.3 Principe de décomposition modale

Bibliographie

# Plan du cours

Introduction générale

Chapitre 1 – Systèmes à un degré de liberté

**Chapitre 2 – Systèmes discrets à plusieurs degrés de liberté**

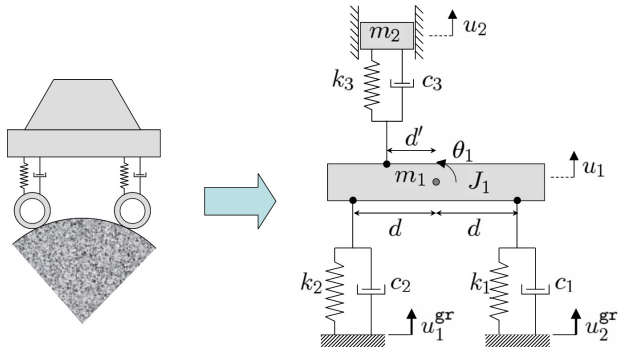
2.1 Introduction

2.2 Réponse forcée harmonique

2.3 Principe de décomposition modale

Bibliographie

# Introduction



**Figure 2.1-** Exemple de système à 3 DDLs et modélisation équivalente.

# Plan du cours

Introduction générale

Chapitre 1 – Systèmes à un degré de liberté

**Chapitre 2 – Systèmes discrets à plusieurs degrés de liberté**

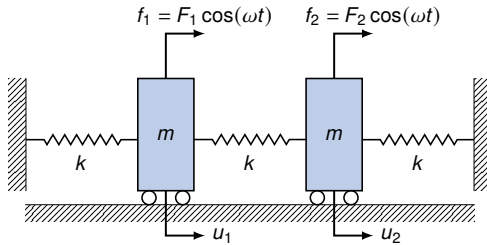
2.1 Introduction

**2.2 Réponse forcée harmonique**

2.3 Principe de décomposition modale

Bibliographie

## Exemple d'un système conservatif



- Après calcul, on trouve pour les amplitudes  $U_1$  et  $U_2$  (réelles car pas d'amortissement) :

$$U_1 = \frac{F_1(2k - m\omega^2) + F_2k}{(k - m\omega^2)(3k - m\omega^2)} \quad \text{et} \quad U_2 = \frac{F_1k + F_2(2k - m\omega^2)}{(k - m\omega^2)(3k - m\omega^2)}$$

- Le dénominateur s'annule (**résonance**) pour les **pulsations de résonance** :

$$\omega_1^{re} = \sqrt{k/m} \quad \text{et} \quad \omega_2^{re} = \sqrt{3k/m}$$

## Démonstration 2.1

⇒ PFD sur la masse de gauche :

$$m\ddot{u}_1 = -ku_1 - k(u_1 - u_2) + F_1 \cos(\omega t) \Rightarrow m\ddot{u}_1 + 2ku_1 - ku_2 = F_1 \cos(\omega t)$$

⇒ PFD sur la masse de droite :

$$m\ddot{u}_2 = -ku_2 - k(u_2 - u_1) + F_2 \cos(\omega t) \Rightarrow m\ddot{u}_2 + 2ku_2 - ku_1 = F_2 \cos(\omega t)$$

Les équations du mouvement du système constitué des 2 masses couplées est :

$$\begin{cases} m\ddot{u}_1 + 2ku_1 - ku_2 = F_1 \cos(\omega t) \\ m\ddot{u}_2 + 2ku_2 - ku_1 = F_2 \cos(\omega t) \end{cases}$$

et donc sous forme matricielle cela donne :

$$\underbrace{\begin{bmatrix} m & 0 \\ 0 & m \end{bmatrix}}_{\mathbf{M}} \begin{Bmatrix} \ddot{u}_1 \\ \ddot{u}_2 \end{Bmatrix} + \underbrace{\begin{bmatrix} 2k & -k \\ -k & 2k \end{bmatrix}}_{\mathbf{K}} \begin{Bmatrix} u_1 \\ u_2 \end{Bmatrix} = \begin{Bmatrix} F_1 \cos(\omega t) \\ F_2 \cos(\omega t) \end{Bmatrix}$$

avec : **M** : matrice de masse et **K** : matrice de raideur

## Démonstration 2.1

- Les équations du mouvement sont :

$$\begin{cases} m\ddot{u}_1 + 2ku_1 - ku_2 = F_1 \cos(\omega t) \\ m\ddot{u}_2 + 2ku_2 - ku_1 = F_1 \cos(\omega t) \end{cases}$$

ou sous forme matricielle :

$$\mathbf{M}\ddot{\mathbf{u}} + \mathbf{K}\mathbf{u} = \mathbf{F} \cos(\omega t) \quad \text{avec} \quad \mathbf{M} = \begin{bmatrix} m & 0 \\ 0 & m \end{bmatrix} \quad \text{et} \quad \mathbf{K} = \begin{bmatrix} 2k & -k \\ -k & 2k \end{bmatrix}$$

- On cherche une solution stationnaire sous la forme :  $\mathbf{u} = \begin{pmatrix} U_1 \\ U_2 \end{pmatrix} \cos(\omega t) = \mathbf{U} \cos(\omega t)$  que l'on introduit

dans l'équation précédente. On obtient :  $\mathbf{D}\mathbf{U} = \mathbf{F}$  avec  $\mathbf{D} = -\omega^2\mathbf{M} + \mathbf{K}$  et donc

$$\mathbf{U} = \mathbf{D}^{-1}\mathbf{F}$$

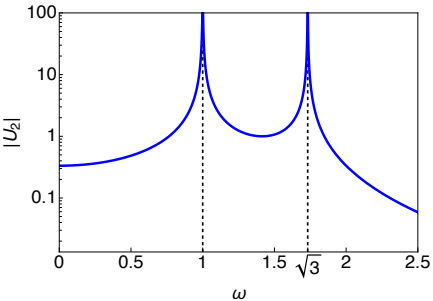
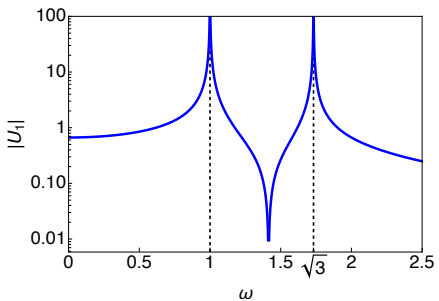
- On sait que  $\mathbf{D}^{-1} = \frac{1}{\det \mathbf{D}} \begin{bmatrix} D_{22} & -D_{12} \\ -D_{21} & D_{11} \end{bmatrix}$ , on a donc :

$$U_1 = \frac{F_1(2k - m\omega^2) + F_2k}{(k - m\omega^2)(3k - m\omega^2)} \quad \text{et} \quad U_2 = \frac{F_1k + F_2(2k - m\omega^2)}{(k - m\omega^2)(3k - m\omega^2)}$$

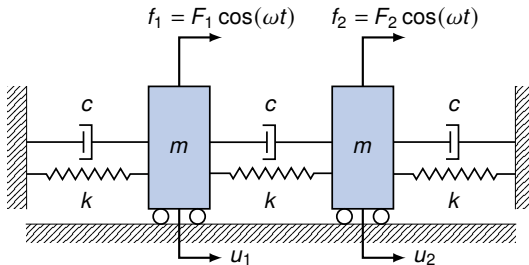
## Exemple d'un système conservatif

$$U_1 = \frac{F_1(2k - m\omega^2) + F_2k}{(k - m\omega^2)(3k - m\omega^2)} \quad \text{et} \quad U_2 = \frac{F_1k + F_2(2k - m\omega^2)}{(k - m\omega^2)(3k - m\omega^2)}$$

- **Paramètres** :  $k = 1$ ,  $m = 1$ ,  $F_1 = 1$  et  $F_2 = 0, 2$ .
- **Pulsations propres** :  $\Omega_1 = \sqrt{k/m} = 1$  et  $\Omega_2 = \sqrt{3k/m} = \sqrt{3}$
- **Pulsations de résonance** :  $\omega_1^{re} = \sqrt{k/m} = 1$  et  $\omega_2^{re} = \sqrt{3k/m} = \sqrt{3}$



## Exemple d'un système amorti



## Démonstration 2.2

- En formalisme complexe, les équations du mouvement sont :

$$\begin{cases} m\ddot{u}_1 + 2c\dot{u}_1 - c\dot{u}_2 + 2k\hat{u}_1 - k\hat{u}_2 = F_1 e^{j\omega t} \\ m\ddot{u}_2 + 2c\dot{u}_2 - c\dot{u}_1 + 2k\hat{u}_2 - k\hat{u}_1 = F_2 e^{j\omega t} \end{cases}$$

ou sous forme matricielle :

$$\mathbf{M}\ddot{\mathbf{u}} + \mathbf{C}\dot{\mathbf{u}} + \mathbf{K}\hat{\mathbf{u}} = \mathbf{F}e^{j\omega t} \quad \text{avec} \quad \mathbf{M} = \begin{bmatrix} m & 0 \\ 0 & m \end{bmatrix}, \quad \mathbf{C} = \begin{bmatrix} 2c & -c \\ -c & 2c \end{bmatrix} \quad \text{et} \quad \mathbf{K} = \begin{bmatrix} 2k & -k \\ -k & 2k \end{bmatrix}$$

- On cherche une solution stationnaire sous la forme :  $\hat{\mathbf{u}} = \begin{pmatrix} \hat{U}_1 \\ \hat{U}_2 \end{pmatrix} e^{j\omega t} = \hat{\mathbf{U}} e^{j\omega t}$  que l'on introduit dans l'équation précédente. On obtient :  $\mathbf{D}\mathbf{U} = \mathbf{F}$  avec  $\mathbf{D} = -\omega^2\mathbf{M} + j\omega\mathbf{C} + \mathbf{K}$  et donc

$$\mathbf{U} = \mathbf{D}^{-1}\mathbf{F}$$

- On sait que  $\mathbf{D}^{-1} = \frac{1}{\det \mathbf{D}} \begin{bmatrix} D_{22} & -D_{12} \\ -D_{21} & D_{11} \end{bmatrix}$ , on a donc :

$$\hat{U}_1 = \frac{(2F_1 + F_2)k - F_1m\omega^2 + jc(2F_1 + F_2)\omega}{(jc\omega + k - m\omega^2)(3jc\omega + 3k - m\omega^2)} \quad \text{et} \quad \hat{U}_2 = \frac{(F_1 + 2F_2)k - F_2m\omega^2 + jc(F_1 + 2F_2)\omega}{(jc\omega + k - m\omega^2)(3jc\omega + 3k - m\omega^2)}$$

## Démonstration 2.2

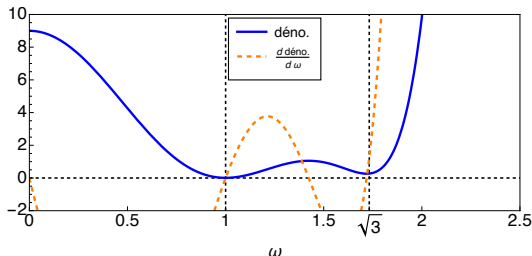
- Les amplitudes  $|\hat{U}_1|$  et  $|\hat{U}_2|$  sont :

$$|\hat{U}_1| = \frac{\sqrt{(2cF_1\omega + cF_2\omega)^2 + (2F_1k + F_2k - F_1m\omega^2)^2}}{\sqrt{c^2\omega^2 + (k - m\omega^2)^2} \sqrt{9c^2\omega^2 + (m\omega^2 - 3k)^2}}$$

et

$$|\hat{U}_2| = \frac{\sqrt{(cF_1\omega + 2cF_2\omega)^2 + (F_1k + 2F_2k - F_2m\omega^2)^2}}{\sqrt{c^2\omega^2 + (k - m\omega^2)^2} \sqrt{9c^2\omega^2 + (m\omega^2 - 3k)^2}}$$

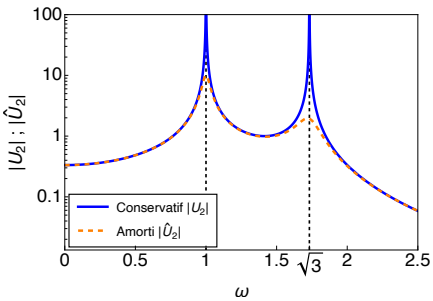
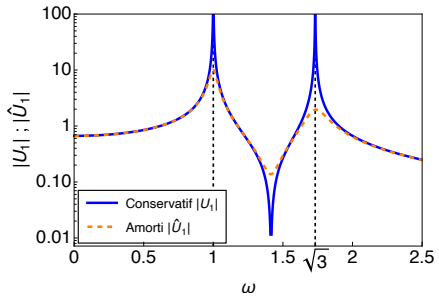
- Résonance = Min(dénominateur) de  $|\hat{U}_1|$  et  $|\hat{U}_2|$



Pas de solutions analytiques simples des pulsations de résonance ici :

obtenues de façon approchée en Sect. 2.3 en utilisant la **décomposition modale**.

## Exemple d'un système amorti



# Cas général

## Forme générale des équations du mouvement

De façon générale (avec de l'amortissement), on a :

$$\mathbf{M}\ddot{\mathbf{u}} + \mathbf{C}\dot{\mathbf{u}} + \mathbf{K}\mathbf{u} = \mathbf{F} \cos(\omega t)$$

- Matrice de masse :

$$\mathbf{M} = \begin{bmatrix} M_{11} & 0 \\ 0 & M_{22} \end{bmatrix}$$

- Matrice de raideur :

$$\mathbf{K} = \begin{bmatrix} K_{11} & K_{12} \\ K_{21} & K_{22} \end{bmatrix}$$

- Matrice d'amortissement :

$$\mathbf{C} = \begin{bmatrix} C_{11} & C_{12} \\ C_{21} & C_{22} \end{bmatrix}$$

- Vecteur force :

$$\mathbf{F} = \begin{Bmatrix} F_1 \\ F_2 \end{Bmatrix}$$

## Cas général

- Équation du mouvement complexe :

$$\mathbf{M}\ddot{\mathbf{u}} + \mathbf{C}\dot{\mathbf{u}} + \mathbf{K}\mathbf{u} = \mathbf{F}e^{j\omega t}$$

- La **solution stationnaire** (notée  $\hat{\mathbf{u}}$ ) recherchée sous la forme suivante :

$$\hat{\mathbf{u}} = \begin{Bmatrix} \hat{u}_1 \\ \hat{u}_2 \end{Bmatrix} = \begin{Bmatrix} \hat{U}_1 \\ \hat{U}_2 \end{Bmatrix} e^{j\omega t}$$

$\hat{U}_1$  et  $\hat{U}_2$  : amplitudes complexes des déplacements

- En injectant cette forme de solution dans les équations du mouvement, on obtient :

$$\underbrace{\begin{bmatrix} -\omega^2 M_{11} + j\omega C_{11} + K_{11} & j\omega C_{12} + K_{12} \\ j\omega C_{21} + K_{21} & -\omega^2 M_{22} + j\omega C_{22} + K_{22} \end{bmatrix}}_{\mathbf{D}} \begin{Bmatrix} \hat{U}_1 \\ \hat{U}_2 \end{Bmatrix} = \begin{Bmatrix} F_1 \\ F_2 \end{Bmatrix}$$

- Matrice de rigidité dynamique :**

$$\mathbf{D} = -\omega^2 \mathbf{M} + j\omega \mathbf{C} + \mathbf{K} = \begin{bmatrix} D_{11} & D_{12} \\ D_{21} & D_{22} \end{bmatrix}$$

## Cas général

- Le système s'écrit :

$$\begin{cases} (-\omega^2 M_{11} + j\omega C_{11} + K_{11})U_1 + (j\omega C_{12} + K_{12})U_2 = F_1 \\ (j\omega C_{21} + K_{21})U_1 + (-\omega^2 M_{22} + j\omega C_{22} + K_{22})U_2 = F_2 \end{cases}$$

- Résolution par **inversion de  $\mathbf{D}$**  :

$$\begin{Bmatrix} \hat{U}_1 \\ \hat{U}_2 \end{Bmatrix} = \mathbf{D}^{-1} \begin{Bmatrix} F_1 \\ F_2 \end{Bmatrix}$$

avec  $\mathbf{D}^{-1} = \frac{1}{\det \mathbf{D}} \begin{bmatrix} D_{22} & -D_{12} \\ -D_{21} & D_{11} \end{bmatrix}$

- Résolution par la **méthode de Cramer** :

$$\hat{U}_1 = \frac{\det \begin{bmatrix} F_1 & D_{12} \\ F_2 & D_{22} \end{bmatrix}}{\det \mathbf{D}} \quad \text{et} \quad \hat{U}_2 = \frac{\det \begin{bmatrix} D_{11} & F_1 \\ D_{21} & F_2 \end{bmatrix}}{\det \mathbf{D}}$$

### Résonance

Système avec de l'amortissement  $\Rightarrow$  condition de résonance :  $|\det \mathbf{D}| = |\det \mathbf{D}|_{\min}$

# Application

## Cas d'une excitation par accélération imposée au support

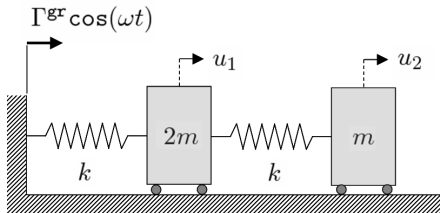


Figure 2.2- Système masses-ressorts excité par accélération imposée.

- Les équations du mouvement s'écrivent :

$$\begin{cases} 2m\ddot{u}_1 + k(u_1 - u^{\text{gr}}) + k(u_1 - u_2) = 0 \\ m\ddot{u}_2 + k(u_2 - u_1) = 0 \end{cases}$$

- Les matrices de masse et de raideur s'expriment donc par

$$\mathbf{M} = \begin{bmatrix} 2m & 0 \\ 0 & m \end{bmatrix}, \quad \mathbf{K} = \begin{bmatrix} 2k & -k \\ -k & k \end{bmatrix}$$

# Application

## Cas d'une excitation par accélération imposée au support (suite)

- En posant  $u_1^* = u_1 - u^{gr}$  et  $u_2^* = u_2 - u^{gr}$ , les équations du mouvement deviennent :

$$\begin{cases} 2m\ddot{u}_1 + 2ku_1^* - ku_2^* = -2m\ddot{u}^{gr} \\ m\ddot{u}_2 - ku_1^* + ku_2^* = -m\ddot{u}^{gr} \end{cases}$$

- Finalement, en posant  $u_1^* = U_1^* \cos(\omega t)$  et  $u_2^* = U_2^* \cos(\omega t)$ , dans le référentiel du support en mouvement, l'équilibre dynamique du système se traduit par

$$\underbrace{\begin{bmatrix} -\omega^2(2m) + 2k & -k \\ -k & -\omega^2m + k \end{bmatrix}}_{\mathbf{D}} \begin{Bmatrix} U_1^* \\ U_2^* \end{Bmatrix} = -\underbrace{\begin{bmatrix} 2m & 0 \\ 0 & m \end{bmatrix}}_{\mathbf{M}} \begin{Bmatrix} \Gamma^{gr} \\ \Gamma^{gr} \end{Bmatrix} = \underbrace{\begin{Bmatrix} -2m\Gamma^{gr} \\ -m\Gamma^{gr} \end{Bmatrix}}_{\mathbf{F}}$$

- On a donc  $\mathbf{U}^* = \mathbf{D}^{-1}\mathbf{F}$ , soit :

$$\begin{Bmatrix} U_1^* \\ U_2^* \end{Bmatrix} = -\frac{\Gamma^{gr}/\Omega_0^2}{2[1 - (\omega/\Omega_0)^2]^2 - 1} \begin{Bmatrix} 3 - 2(\omega/\Omega_0)^2 \\ 4 - 2(\omega/\Omega_0)^2 \end{Bmatrix}$$

# Plan du cours

Introduction générale

Chapitre 1 – Systèmes à un degré de liberté

**Chapitre 2 – Systèmes discrets à plusieurs degrés de liberté**

2.1 Introduction

2.2 Réponse forcée harmonique

2.3 Principe de décomposition modale

Bibliographie

# Modes de vibration

Les **vibrations libres d'un système conservatif** à  $n$  DDLs peuvent être appréhendées à partir du système matriciel suivant :

$$\mathbf{M}\ddot{\mathbf{u}} + \mathbf{Ku} = \mathbf{0}$$

- **M (définie positive)** et **K (semi-définie positive)** : matrices de masse et de raideur de taille  $n \times n$
- **u** : vecteur des déplacements de taille  $n \times 1$

## Définition

- On cherche cette fois des solutions **particulières synchrones\*** de la forme générale :

$$\mathbf{u} = \mathbf{X}\phi(t)$$

- La substitution d'une solution de ce type dans l'équation du mouvement donne :

$$\ddot{\phi}(t)\mathbf{MX} + \phi(t)\mathbf{KX} = \mathbf{0} \quad \Rightarrow \quad \mathbf{KX} = -\frac{\ddot{\phi}(t)}{\phi(t)}\mathbf{MX}$$

- La matrice **M** étant **définie positive** et la matrice **K semi-définie positive**, on a :

$$-\frac{\ddot{\phi}(t)}{\phi(t)} = \Omega^2 = \frac{\mathbf{X}^T \mathbf{KX}}{\mathbf{X}^T \mathbf{MX}} \geq 0.$$

\* tous les degrés de liberté sont régis par la même fonction du temps.

# Modes de vibration

## Définition (suite 1)

- Les **modes de vibration** sont les solutions du **problème aux valeurs propres généralisé** suivant :

$$\mathbf{KX} = \Omega^2 \mathbf{MX}$$

- Solutions non nulles uniquement si

$$\det(\mathbf{K} - \Omega^2 \mathbf{M}) = 0$$

Polynome de de  $n$  en  $\Omega^2$  :  $n$  solutions.

⇒ Les doublets  $\{(\Omega_i, \mathbf{X}_i)\}_{i=1,\dots,n}$  sont appelés **modes de vibrations**.

# Modes de vibration

## Définition (suite 2)

Pour la forme de  $\phi(t)$ , on différentie les **modes de corps rigides** des autres :

❶ Systèmes tels que  $\mathbf{X}^T \mathbf{K} \mathbf{X} > 0 \Rightarrow \Omega^2 > 0$  :

$$\ddot{\phi}(t) + \Omega^2 \phi(t) = 0 \quad \text{et} \quad \mathbf{K} \mathbf{X} - \Omega^2 \mathbf{M} \mathbf{X} = \mathbf{0}$$

qui admet une solution non nulle  $\mathbf{X}_i$  ( $i = 1, \dots, n$ ) telle que

$$\mathbf{K} \mathbf{X}_i - \Omega_i^2 \mathbf{M} \mathbf{X}_i \quad \text{et} \quad \phi_i(t) = A_i \cos(\Omega_i t) + B_i \sin(\Omega_i t)$$

où  $\Omega_i$  est l'une des  $n$  solutions de :  $\det(\mathbf{K} - \Omega^2 \mathbf{M}) = 0$

❷ Systèmes admettant des modes de corps rigide  $\mathbf{X}_r$  avec  $\mathbf{X}_r^T \mathbf{K} \mathbf{X}_r = 0 \Rightarrow \Omega_r = 0$  ( $r = 1, \dots, n$ ) :

$$\ddot{\phi}_r(t) = 0 \quad \Rightarrow \quad \phi_r(t) = At + B \quad \text{et} \quad \mathbf{K} \mathbf{X}_r = \mathbf{0}$$

# Modes de vibration

## Orthogonalité des modes de vibration

Lorsque toutes les pulsations propres  $\{\Omega_i\}_{i=1,\dots,n}$  sont distinctes, les **propriétés d'orthogonalité** se résument à :

$$\mathbf{X}_r^T \mathbf{M} \mathbf{X}_s = 0 \quad , \quad \mathbf{X}_r^T \mathbf{K} \mathbf{X}_s = 0 \quad \text{lorsque } r \neq s$$

## Définition

On appelle **masses modales** et **raideurs modales** les **quantités scalaires**  $\{m_i\}_{i=1,\dots,n}$  et  $\{k_i\}_{i=1,\dots,n}$  définies par :

$$m_i = \mathbf{X}_i^T \mathbf{M} \mathbf{X}_i \quad , \quad k_i = \mathbf{X}_i^T \mathbf{K} \mathbf{X}_i$$

Par ailleurs, les **pulsations propres** sont définies par

$$\Omega_i = \sqrt{\frac{k_i}{m_i}}$$

## Démonstration 2.3 – Orthogonalité des modes de vibration

Le problème aux valeurs propres est réécrit pour un mode donné  $\{(\Omega_s, \mathbf{X}_s)\}$  :

$$\mathbf{KX}_s = \Omega_s^2 \mathbf{MX}_s$$

$$\mathbf{X}_r^T \mathbf{KX}_s = \Omega_s^2 \mathbf{X}_r^T \mathbf{MX}_s \quad \text{avec } r \neq s \quad (2.3)$$

Même chose avec le mode  $\{(\Omega_r, \mathbf{X}_r)\}$  :

$$\mathbf{KX}_r = \Omega_r^2 \mathbf{MX}_r$$

$$\mathbf{X}_s^T \mathbf{KX}_r = \Omega_r^2 \mathbf{X}_s^T \mathbf{MX}_r \quad \text{avec } r \neq s \quad (2.4)$$

On effectue  $(2.3)^T - (2.4)$  :

$$\mathbf{X}_s^T \mathbf{K}^T \mathbf{X}_r - \mathbf{X}_s^T \mathbf{KX}_r = \Omega_s^2 \mathbf{X}_s^T \mathbf{M}^T \mathbf{X}_r - \Omega_r^2 \mathbf{X}_s^T \mathbf{MX}_r$$

Les matrices  $\mathbf{M}$  et  $\mathbf{K}$  sont symétriques, donc  $\mathbf{M}^T = \mathbf{M}$  et  $\mathbf{K}^T = \mathbf{K}$  et donc :

$$(\Omega_r^2 - \Omega_s^2) \mathbf{X}_s^T \mathbf{MX}_r = 0$$

Comme  $\Omega_r \neq \Omega_s$  on a alors  $\mathbf{X}_s^T \mathbf{MX}_r = 0$

Comme  $\mathbf{X}_s^T \mathbf{KX}_r = \Omega_r^2 \mathbf{X}_s^T \mathbf{MX}_r$  on a aussi  $\mathbf{X}_s^T \mathbf{KX}_r = 0$

# Modes de vibration

## Définition

On appelle **modes de corps rigide** les solutions particulières du problème aux valeurs propres telles que  $\mathbf{KX} = \mathbf{0}$ , i.e. associées à des **valeurs propres nulles**  $\Omega_i = 0$ .

Le **nombre maximum de modes de corps rigides est de 6** (3 translations + 3 rotations).

## Normalisation des modes de vibration

Les vecteurs propres  $\mathbf{X}_i$  sont définis à une constante près, on peut donc les **normaliser par rapport à la matrice de masse** :

$$\mathbf{Y}_i = \frac{\mathbf{X}_i}{\sqrt{\mathbf{X}_i^T \mathbf{M} \mathbf{X}_i}} = \frac{\mathbf{X}_i}{\sqrt{m_i}} \quad \Rightarrow \quad m_i = 1$$

Quand on considère les modes  $\{(\Omega_i, \mathbf{Y}_i)\}_{i=1, \dots, n}$  on a :  $m_i = 1$  et  $\Omega_i = \sqrt{k_i}$

## Remarque

Dans la suite on suppose que les modes sont normalisés par rapport à la matrice de masse  
 $\Rightarrow$  Il seront quand même notés  $\mathbf{X}_i$ .

## Lien avec un problème aux valeurs propres classique

Problème aux valeurs propres généralisé :  $\boxed{\mathbf{KX} = \Omega^2 \mathbf{MX}}$

On posant  $\boxed{\mathbf{Z} = \mathbf{M}^{1/2} \mathbf{X}}$  cela donne :  $\mathbf{KX} = \Omega^2 \mathbf{MX} \Rightarrow \mathbf{M}^{-1/2} \mathbf{K} \mathbf{M}^{-1/2} \mathbf{Z} = \Omega^2 \mathbf{M}^{-1/2} \mathbf{M} \mathbf{M}^{-1/2} \mathbf{Z}$

On introduit  $\boxed{\mathbf{A} = \mathbf{M}^{-1/2} \mathbf{K} \mathbf{M}^{-1/2}}$  et en notant que  $\mathbf{M}^{-1/2} \mathbf{M} \mathbf{M}^{-1/2} = (\mathbf{M}^{-1/2} \mathbf{M}^{1/2})(\mathbf{M}^{1/2} \mathbf{M}^{-1/2}) = \mathbf{I} \cdot \mathbf{I} = \mathbf{I}$ , le problème aux valeurs propres généralisé initial devient équivalent au problème aux valeurs propres classique :

$$\boxed{\mathbf{AZ} = \lambda \mathbf{Z}}$$

associé aux mêmes valeurs propres  $\lambda_i = \Omega_i^2$  ( $i = 1, \dots, n$ ).

Or  $\mathbf{A}^T = (\mathbf{M}^{-1/2})^T \mathbf{K}^T (\mathbf{M}^{-1/2})^T = \mathbf{M}^{-1/2} \mathbf{K} \mathbf{M}^{-1/2} = \mathbf{A}$ , donc  $\mathbf{A}$  est symétrique.

La matrice  $\mathbf{A}$  étant symétrique, le **théorème spectral** stipule que :

- Les valeurs propres  $\lambda_i$  sont réelles
- Les vecteurs propres  $\mathbf{Z}_i$  forment une base orthogonale complète de  $\mathbb{R}^n$  :

$$\mathbf{Z}_r^T \mathbf{Z}_s = \delta_{rs} \quad (\text{si vecteurs propres normalisés})$$

$$(\mathbf{M}^{1/2} \mathbf{X}_r^T) (\mathbf{M}^{1/2} \mathbf{X}_s^T) = \delta_{rs}$$

$$\mathbf{X}_r^T (\mathbf{M}^{1/2} \mathbf{M}^{1/2}) \mathbf{X}_s^T = \delta_{rs}$$

$$\mathbf{X}_r^T \mathbf{M} \mathbf{X}_s^T = \delta_{rs} \quad (\text{on retrouve le résultat précédent})$$

⇒ Les vecteurs propres  $\mathbf{X}_i$  ( $i = 1, \dots, n$ ) forment une **base orthogonale complète** de  $\mathbb{R}^n$

# Principe de décomposition modale

## Objectif de la décomposition modale

$$\begin{array}{ccc}
 \text{Principe de la} & \equiv & \text{1 problème à } n \\
 \text{décomposition modale} & & \text{DDLs} \\
 & & \Rightarrow \\
 & & \text{n problèmes à 1} \\
 & & \text{DDL}
 \end{array}$$

**Orthogonalité des modes de vibration**

## Mise en œuvre

- Les vecteurs propres  $\{\mathbf{X}_i\}_{i=1,\dots,n}$  forment **une base complète de  $\mathbb{R}^n$**  permettant de représenter le comportement dynamique du système.
- ⇒ Le vecteur des déplacements  $\mathbf{u}$  peut être exprimé sur la base des modes de vibrations.

La **décomposition modale** s'écrit :

$$\mathbf{u} = \sum_{i=1}^n \phi_i \mathbf{X}_i$$

$\phi_i$  : **amplitudes modales** ou **coordonnées généralisées**, déterminées à partir des Cls.

# Principe de décomposition modale

## Remarque

Dans le cas de valeurs propres multiples (ceci inclut également les modes de corps rigide où la valeur propre correspondante est nulle) le principe de décomposition modale reste valable.

Pour cela il faut faire appel au **théorème de dégénérescence**.

## Théorème de dégénérescence ([Gérardin et Rixen(1994)] page 73)

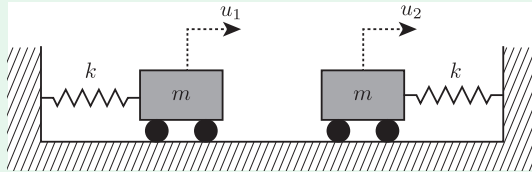
À une valeur propre  $\Omega_p$  du système

$$(\mathbf{K} - \Omega^2 \mathbf{M}) \mathbf{X} = 0$$

correspond un nombre de vecteurs propres linéairement indépendants (orthogonaux les uns aux autres et orthogonaux aux vecteurs propres correspondant aux autres valeurs propres) égal à la multiplicité de la valeur propre.

# Modes de vibration

## Exemple de système dégénéré



### ⇒ Calcul des pulsations propres $\Omega$

Il faut résoudre  $\det(\mathbf{K} - \Omega^2 \mathbf{M}) = 0$ , soit

$$\begin{vmatrix} k - \Omega^2 m & 0 \\ 0 & k - \Omega^2 m \end{vmatrix} = 0 \quad \Rightarrow \quad (k - \Omega^2 m)^2 = 0$$

Les pulsations propres sont donc :

$$\Omega_1^2 = \frac{k}{m} \quad \text{et} \quad \Omega_2^2 = \frac{k}{m}$$

**Remarque :** il n'est pas possible d'avoir un système dégénéré et couplé à 2 DDLs (possible à partir de 3 DDLs)

# Exemple

## Cas d'un système symétrique 2 masses - 3 ressorts

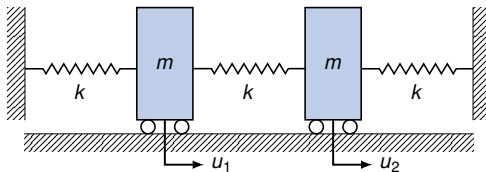


Figure 2.3- Exemple d'un système masses-ressorts à 2 DDLs.

### Équations du mouvement

$$\begin{cases} m\ddot{u}_1 + 2ku_1 - ku_2 = 0 \\ m\ddot{u}_2 + 2ku_2 - ku_1 = 0 \end{cases}$$

Puis sous forme matricielle :

$$\underbrace{\begin{bmatrix} m & 0 \\ 0 & m \end{bmatrix}}_{\mathbf{M}} \begin{Bmatrix} \ddot{u}_1 \\ \ddot{u}_2 \end{Bmatrix} + \underbrace{\begin{bmatrix} 2k & -k \\ -k & 2k \end{bmatrix}}_{\mathbf{K}} \begin{Bmatrix} u_1 \\ u_2 \end{Bmatrix} = \begin{Bmatrix} 0 \\ 0 \end{Bmatrix}$$

avec : **M** : matrice de masse et **K** : matrice de raideur

# Exemple

## Cas d'un système symétrique 2 masses - 3 ressorts

### Les modes propres de vibration du système

- Les **pulsations propres** et **vecteurs propres** sont :

$$\Omega_1^2 = \frac{k}{m} \quad ; \quad \Omega_2^2 = \frac{3k}{m}$$

$$\mathbf{X}_1 = \begin{pmatrix} 1 \\ 1 \end{pmatrix} \quad ; \quad \mathbf{X}_2 = \begin{pmatrix} 1 \\ -1 \end{pmatrix}$$

- Mode 1** : les masses oscillent **en phase à la pulsation  $\Omega_1$**
- Mode 2** : les masses oscillent **en opposition de phase à la pulsation  $\Omega_2$**

- Les coordonnées généralisées sont données par :

$$\phi_i(t) = A_i \cos(\Omega_i t) + B_i \sin(\Omega_i t) \quad \text{avec ici } i = 1, 2$$

- Solution générale (mouvement quelconque) = combinaison linéaire de ces deux modes :

$$\mathbf{u} = \sum_{i=1}^n \phi_i \mathbf{X}_i = \underbrace{(A_1 \cos(\Omega_1 t) + B_1 \sin(\Omega_1 t)) \mathbf{X}_1}_{\text{Mode 1}} + \underbrace{(A_2 \cos(\Omega_2 t) + B_2 \sin(\Omega_2 t)) \mathbf{X}_2}_{\text{Mode 2}}$$

Les constantes  $A_1, B_1, A_2$  et  $B_2$  sont déterminées à partir des conditions initiales  $u_1(t=0), \dot{u}_1(t=0), u_2(t=0)$  et  $\dot{u}_2(t=0)$  (4 équations pour 4 inconnues, ça marche !).

## Démonstration 2.3

Soit le problème aux valeurs propres :

$$\mathbf{KX} = \Omega^2 \mathbf{MX}$$

### ⇒ Calcul des pulsations propres $\Omega$

Il faut résoudre  $\det(\mathbf{K} - \Omega^2 \mathbf{M}) = 0$ , soit

$$\begin{vmatrix} 2k - \Omega^2 m & -k \\ -k & 2k - \Omega^2 m \end{vmatrix} = 0$$

$$(2k - \Omega^2 m)^2 - k^2 = 0$$

$$(2k - \Omega^2 m + k)(2k - \Omega^2 m - k) = 0$$

$$(3k - \Omega^2 m)(k - \Omega^2 m) = 0$$

Les pulsations propres sont donc :

$$\Omega_1^2 = \frac{k}{m} \quad \text{et} \quad \Omega_2^2 = \frac{3k}{m}$$

## Démonstration 2.4

### ⇒ Calcul des vecteurs propres $\mathbf{X}$

Il y a 2 pulsations propres et donc 2 vecteurs propres

$$\mathbf{X}_1 = \{X_{11}, X_{12}\}^T \quad \text{et} \quad \mathbf{X}_2 = \{X_{21}, X_{22}\}^T$$

On commence par déterminer  $\mathbf{X}_1$  pour cela il faut résoudre :

$$(\mathbf{K} - \Omega_1^2 \mathbf{M}) \mathbf{X}_1 = 0 \quad \text{soit} \quad \begin{cases} (2k - \Omega_1^2 m) X_{11} - kX_{12} = 0 \\ -kX_{11} + (2k - \Omega_1^2 m) X_{12} = 0 \end{cases}$$

Comme  $\det(\mathbf{K} - \Omega^2 \mathbf{M}) = 0$ , on peut résoudre avec une des 2 équations. On prend la 1ère :

$$(2k - \Omega_1^2 m) X_{11} - kX_{12} = 0 \quad \Rightarrow \quad kX_{11} - kX_{12} = 0 \quad \Rightarrow \quad X_{11} = X_{12}$$

⇒ Les masses oscillent **en phase**

On fait de même pour  $\mathbf{X}_2$  et on trouve :

$$(2k - \Omega_2^2 m) X_{21} - kX_{22} = 0 \quad \Rightarrow \quad -kX_{21} - kX_{22} = 0 \quad \Rightarrow \quad X_{21} = -X_{22}$$

⇒ Les masses oscillent **en opposition de phase**

Si on prend arbitrairement  $X_{11} = 1$  et  $X_{21}$ , on a finalement :

$$\mathbf{X}_1 = \begin{pmatrix} 1 \\ 1 \end{pmatrix} \quad ; \quad \mathbf{X}_2 = \begin{pmatrix} 1 \\ -1 \end{pmatrix}$$

## Démonstration 2.4

On a montré que :

$$\phi_i(t) = A_i \cos(\Omega_i t) + B_i \sin(\Omega_i t) \quad \text{avec ici } i = 1, 2$$

La **décomposition modale** s'écrit :

$$\mathbf{u} = \sum_{i=1}^n \phi_i \mathbf{X}_i$$

On écrit donc finalement :

$$\mathbf{u} = (A_1 \cos(\Omega_1 t) + B_1 \sin(\Omega_1 t)) \mathbf{X}_1 + (A_2 \cos(\Omega_2 t) + B_2 \sin(\Omega_2 t)) \mathbf{X}_2$$

où les constantes  $A_1, B_1, A_2$  et  $B_2$  sont déterminées à partir des conditions initiales :

$u_1(t=0), \dot{u}_1(t=0), u_2(t=0)$  et  $\dot{u}_2(t=0)$  (4 équations pour 4 inconnues, ça marche !).

# Exemple

## Cas d'un système symétrique 2 masses - 3 ressorts

### Cas 1 : conditions initiales sur le mode 1

- Condition initiales :  $u_1(t = 0) = 1$ ,  $\dot{u}_1(t = 0) = 0$ ,  $u_2(t = 0) = 1$ ,  $\dot{u}_2(t = 0) = 0$

- Le système s'écrit :

$$u_1 = A_1 \cos(\Omega_1 t) + B_1 \sin(\Omega_1 t) + A_2 \cos(\Omega_2 t) + B_2 \sin(\Omega_2 t)$$

$$u_2 = A_1 \cos(\Omega_1 t) + B_1 \sin(\Omega_1 t) - A_2 \cos(\Omega_2 t) - B_2 \sin(\Omega_2 t)$$

$$\dot{u}_1 = -\Omega_1 A_1 \sin(\Omega_1 t) + \Omega_1 B_1 \cos(\Omega_1 t) - \Omega_2 A_2 \sin(\Omega_2 t) + \Omega_2 B_2 \cos(\Omega_2 t)$$

$$\dot{u}_2 = -\Omega_1 A_1 \sin(\Omega_1 t) + \Omega_1 B_1 \cos(\Omega_1 t) + \Omega_2 A_2 \sin(\Omega_2 t) - \Omega_2 B_2 \cos(\Omega_2 t)$$

- Application des conditions initiales :

$$\dot{u}_1(t = 0) = 0 ; \dot{u}_2(t = 0) = 0 \Rightarrow \begin{cases} \Omega_1 B_1 + \Omega_2 B_2 = 0 \\ \Omega_1 B_1 - \Omega_2 B_2 = 0 \end{cases} \Rightarrow \boxed{B_1 = B_2 = 0}$$

$$u_1(t = 0) = 1 ; u_2(t = 0) = 1 \Rightarrow \begin{cases} A_1 + A_2 = 1 \\ A_1 - A_2 = 1 \end{cases} \Rightarrow \boxed{A_2 = 0} \quad \boxed{A_1 = 1}$$

- Finalement, **seul un mouvement sur le mode 1 est observé** :

$$u_1 = \cos(\Omega_1 t)$$

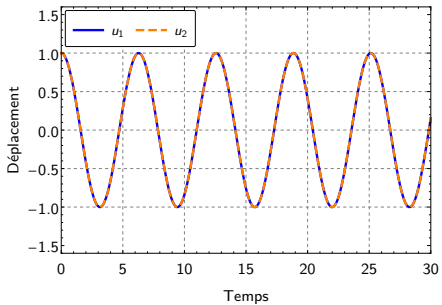
$$u_2 = \cos(\Omega_1 t)$$

# Exemple

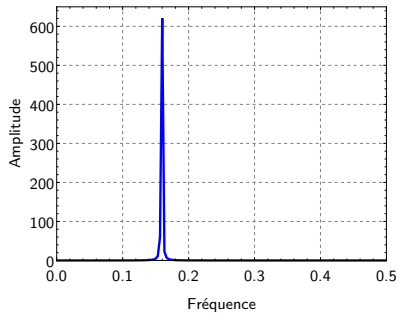
## Cas d'un système symétrique 2 masses - 3 ressorts

### Cas 1 : conditions initiales sur le mode 1

- Condition initiales :  $u_1(t = 0) = 1$ ,  $\dot{u}_1(t = 0) = 0$ ,  $u_2(t = 0) = 1$ ,  $\dot{u}_2(t = 0) = 0$
- Paramètres :  $k = 1$  et  $m = 1$
- Fréquence propres :  $f_1 = \Omega_1/2\pi \approx 0,16$  et  $f_2 = \Omega_2/2\pi \approx 0,28$



Périodogramme de  $u_1$

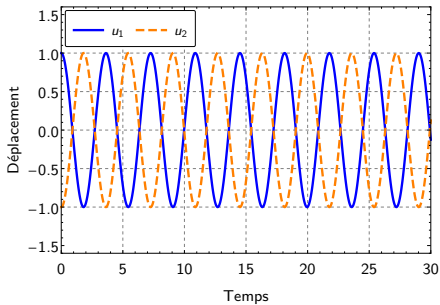


# Exemple

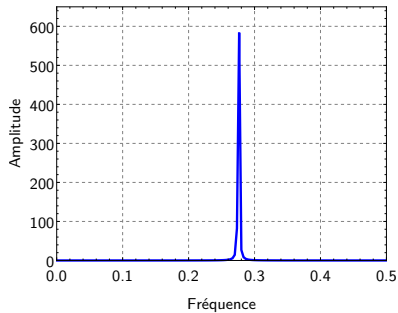
## Cas d'un système symétrique 2 masses - 3 ressorts

### Cas 2 : conditions initiales sur le mode 2

- Condition initiales :  $u_1(t = 0) = 1$ ,  $\dot{u}_1(t = 0) = 0$ ,  $u_2(t = 0) = -1$ ,  $\dot{u}_2(t = 0) = 0$
- Paramètres :  $k = 1$  et  $m = 1$
- Fréquence propres :  $f_1 = \Omega_1/2\pi \approx 0,16$  et  $f_2 = \Omega_2/2\pi \approx 0,28$



Périodogramme de  $u_1$

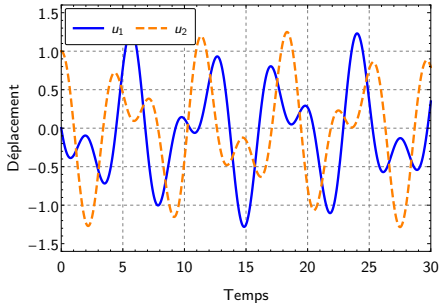


# Exemple

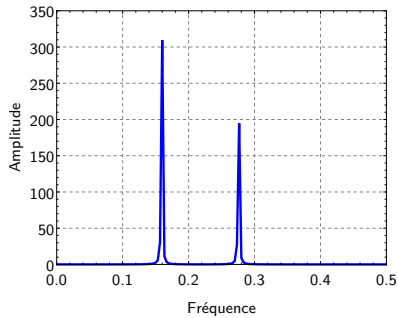
## Cas d'un système symétrique 2 masses - 3 ressorts

### Cas 3 : conditions initiales quelconques (exemple 1)

- Condition initiales :  $u_1(t = 0) = 0$ ,  $\dot{u}_1(t = 0) = -1$ ,  $u_2(t = 0) = 1$ ,  $\dot{u}_2(t = 0) = 0$
- Paramètres :  $k = 1$  et  $m = 1$
- Fréquence propres :  $f_1 = \Omega_1/2\pi \approx 0,16$  et  $f_2 = \Omega_2/2\pi \approx 0,28$



Périodogramme de  $u_1$

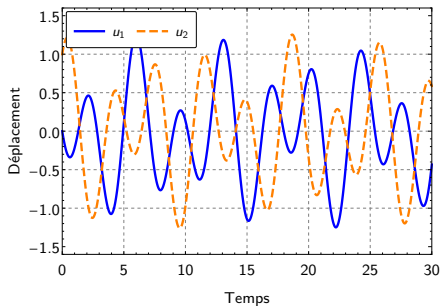


# Exemple

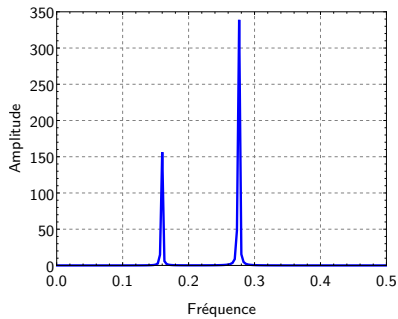
## Cas d'un système symétrique 2 masses - 3 ressorts

### Cas 4 : conditions initiales quelconques (exemple 2)

- Condition initiales :**  $u_1(t = 0) = 0$ ,  $\dot{u}_1(t = 0) = -1$ ,  $u_2(t = 0) = 1$ ,  $\dot{u}_2(t = 0) = 1$
- Paramètres :**  $k = 1$  et  $m = 1$
- Fréquence propres :**  $f_1 = \Omega_1/2\pi \approx 0,16$  et  $f_2 = \Omega_2/2\pi \approx 0,28$



Périodogramme de  $u_1$



# Généralisation

## Cas des systèmes à 2 DDLs arbitraires

### Équations du mouvement

$$\underbrace{\begin{bmatrix} M_{11} & 0 \\ 0 & M_{22} \end{bmatrix}}_{\mathbf{M}} \begin{Bmatrix} \ddot{u}_1 \\ \ddot{u}_2 \end{Bmatrix} + \underbrace{\begin{bmatrix} K_{11} & K_{12} \\ K_{21} & K_{22} \end{bmatrix}}_{\mathbf{K}} \begin{Bmatrix} u_1 \\ u_2 \end{Bmatrix} = \begin{Bmatrix} 0 \\ 0 \end{Bmatrix}.$$

**Remarque :** dans le cadre de ce cours les matrice de masse **M** et deux raideur **K** sont toutes les deux symétriques.

### Pulsations et vecteurs propres

$$\Omega_{1,2}^2 = \frac{M_{11}K_{22} + M_{22}K_{11} \pm \sqrt{(M_{11}K_{22} + M_{22}K_{11})^2 - 4M_{11}M_{22}(K_{11}K_{22} - K_{12}^2)}}{2M_{11}M_{22}}$$

$$\mathbf{x}_{1,2} = \begin{Bmatrix} (K_{22} - \Omega_{1,2}^2 M_{22})/(-K_{12}) \\ 1 \end{Bmatrix}$$

# Généralisation

## Cas des systèmes à 2 DDLs arbitraires

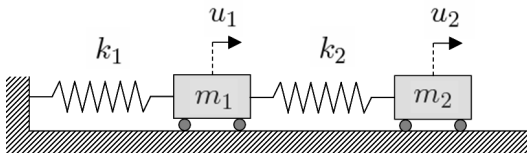


Figure 2.4- Autre exemple de système masses-ressorts à 2 DDLs.

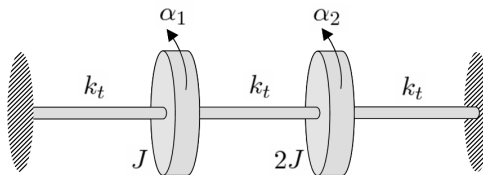


Figure 2.5- Autre exemple de système 2 DDLs, composé de disques rigides massifs et d'arbres de torsion sans masses.

Les exemples des Figures 2.3 et 2.4 sont traités en TD.

## Cas des systèmes dissipatifs

- Système matriciel décrivant les vibrations libres d'un système conservatif à  $n$  DDLs

$$\begin{cases} \mathbf{M}\ddot{\mathbf{u}} + \mathbf{K}\mathbf{u} = \mathbf{0} \\ \mathbf{u}(t = 0) = \mathbf{u}_0 \quad , \quad \dot{\mathbf{u}}(t = 0) = \dot{\mathbf{u}}_0 \end{cases}$$

$\mathbf{u}_0$  et  $\dot{\mathbf{u}}_0$  : vecteurs de taille  $n \times 1$  exprimant les conditions initiales.

- En appliquant le **principe de décomposition modale** et les **propriétés d'orthogonalité des modes**, on montre que

$$\begin{cases} \ddot{\phi}_i + \Omega_i^2 \phi_i = 0 \quad i = 1, \dots, n \\ \phi_i(t = 0) = \underbrace{\mathbf{X}_i^T \mathbf{M} \mathbf{u}_0}_{\phi_{i0}} \quad , \quad \dot{\phi}_i(t = 0) = \underbrace{\mathbf{X}_i^T \mathbf{M} \dot{\mathbf{u}}_0}_{\dot{\phi}_{i0}} \end{cases}$$

- La solution de chacune des  $n$  équations précédentes est connue (cf. Chap. 1) :

$$\phi_i = \phi_{i0} \cos(\Omega_i t) + \frac{\dot{\phi}_{i0}}{\Omega_i} \sin(\Omega_i t)$$

## Démonstration 2.5 – Projection sur la base des vecteurs propres

On écrit les équations du mouvement en remplaçant  $\mathbf{u}$  par sa décomposition modale :

$$\mathbf{M}\ddot{\mathbf{u}} + \mathbf{K}\mathbf{u} = \mathbf{0}$$

$$\mathbf{M} \sum_{i=1}^n \ddot{\phi}_i \mathbf{X}_i + \mathbf{K} \sum_{i=1}^n \phi_i \mathbf{X}_i = \mathbf{0}$$

$$\mathbf{X}_r^T \left( \mathbf{M} \sum_{i=1}^n \ddot{\phi}_i \mathbf{X}_i + \mathbf{K} \sum_{i=1}^n \phi_i \mathbf{X}_i \right) = \mathbf{0}$$

$$\sum_{i=1}^n \left( \ddot{\phi}_i \underbrace{\mathbf{X}_r^T \mathbf{M} \mathbf{X}_i}_{= 0 \text{ si } r \neq i} + \phi_i \underbrace{\mathbf{X}_r^T \mathbf{K} \mathbf{X}_i}_{= 0 \text{ si } r \neq i} \right) = \mathbf{0}$$

$$\begin{aligned} \ddot{\phi}_i &= 0 \text{ si } r \neq i \\ &= m_i = 1 \text{ si } r = i \\ \phi_i &= 0 \text{ si } r \neq i \\ &= k_i = \Omega_i^2 \text{ si } r = i \end{aligned}$$

$$\boxed{\ddot{\phi}_i + \Omega_i^2 \phi_i = 0, \quad i = 1, \dots, n}$$

Pour les conditions initiales, si les modes sont normalisés par rapport à  $\mathbf{M}$ , on a :

$$\mathbf{u}_0 = \sum_{i=1}^n \phi_{i0} \mathbf{X}_i \Leftrightarrow \mathbf{X}_r^T \mathbf{M} \mathbf{u}_0 = \sum_{i=1}^n \phi_{i0} \mathbf{X}_r^T \mathbf{M} \mathbf{X}_i \Leftrightarrow \boxed{\phi_{i0} = \mathbf{X}_r^T \mathbf{M} \mathbf{u}_0}$$

$$\dot{\mathbf{u}}_0 = \sum_{i=1}^n \dot{\phi}_{i0} \mathbf{X}_i \Leftrightarrow \mathbf{X}_r^T \mathbf{M} \dot{\mathbf{u}}_0 = \sum_{i=1}^n \dot{\phi}_{i0} \mathbf{X}_r^T \mathbf{M} \mathbf{X}_i \Leftrightarrow \boxed{\dot{\phi}_{i0} = \mathbf{X}_r^T \mathbf{M} \dot{\mathbf{u}}_0}$$

# Cas des systèmes dissipatifs

## Équations du mouvement dans le cas dissipatif

$$\begin{cases} \mathbf{M}\ddot{\mathbf{u}} + \mathbf{C}\dot{\mathbf{u}} + \mathbf{K}\mathbf{u} = \mathbf{0} \\ \mathbf{u}(t=0) = \mathbf{u}_0, \quad \dot{\mathbf{u}}(t=0) = \dot{\mathbf{u}}_0 \end{cases}$$

## Amortissement de Rayleigh

Matrice d'amortissement proportionnelle à la matrice de masse et de rigidité :

$$\mathbf{C} = a\mathbf{M} + b\mathbf{K}$$

⇒ Orthogonalité des formes propres  $\mathbf{X}_i$  également vérifiée vis-à-vis de  $\mathbf{C}$ .

## Remarque

Dans chacune des applications qui suivent les **décompositions modales sont effectuées sur les modes du système libre sans amortissement**.

# Cas des systèmes dissipatifs

## Calcul des vibrations libres

- En appliquant le **principe de décomposition modale** et les **propriétés d'orthogonalité des modes**, on montre que

$$\begin{cases} \ddot{\phi}_i + 2\zeta_i \Omega_i \dot{\phi}_i + \Omega_i^2 \phi_i = 0 & i = 1, \dots, n \\ \phi_i(t=0) = \underbrace{\mathbf{X}_i^T \mathbf{M} \mathbf{u}_0}_{\phi_{i0}} \quad , \quad \dot{\phi}_i(t=0) = \underbrace{\mathbf{X}_i^T \mathbf{M} \dot{\mathbf{u}}_0}_{\dot{\phi}_{i0}} \end{cases}$$

$\zeta_i$  : **taux d'amortissements modaux**, définis tels que :

$$\zeta_i = \frac{1}{2} \left( \frac{a}{\Omega_i} + b\Omega_i \right)$$

- La solution de chacune des  $n$  équations précédentes est connue (cf. Chap. 1) :

$$\phi_i = e^{-\zeta_i \Omega_i t} \left[ \phi_{i0} \cos(\Omega_{id} t) + \frac{\zeta_i \Omega_{id} \phi_{i0} + \dot{\phi}_{i0}}{\Omega_{id}} \sin(\Omega_{id} t) \right] \quad \text{avec} \quad \Omega_{id} = \Omega_i \sqrt{1 - \zeta_i^2}$$

## → Démonstration 2.6 – Projection sur la base des vecteurs propres

On doit résoudre, par décomposition modale, le système suivant :

$$\begin{cases} \mathbf{M}\ddot{\mathbf{u}} + \mathbf{C}\dot{\mathbf{u}} + \mathbf{K}\mathbf{u} = \mathbf{0} \\ \mathbf{u}(t=0) = \mathbf{u}_0 \quad , \quad \dot{\mathbf{u}}(t=0) = \dot{\mathbf{u}}_0 \end{cases}$$

avec

$$\mathbf{C} = a\mathbf{M} + b\mathbf{K}$$

$$\begin{aligned} \underbrace{\mathbf{X}_r^T \mathbf{C} \mathbf{X}_i}_{\begin{array}{l} = 0 \text{ si } r \neq i \\ = c_i \text{ si } r = i \end{array}} &= a \underbrace{\mathbf{X}_r^T \mathbf{M} \mathbf{X}_i}_{\begin{array}{l} = 0 \text{ si } r \neq i \\ = 1 \text{ si } r = i \end{array}} + b \underbrace{\mathbf{X}_r^T \mathbf{K} \mathbf{X}_i}_{\begin{array}{l} = 0 \text{ si } r \neq i \\ = \Omega_i^2 \text{ si } r = i \end{array}} \end{aligned}$$

Le **coefficent d'amortissement modal** et le **taux d'amortissement modal** sont donc :

$$c_i = a + b\Omega_i^2 \quad \text{et} \quad \zeta_i = \frac{c_i}{2\Omega_i} = \frac{1}{2} \left( \frac{a}{\Omega_i} + b\Omega_i \right)$$

## Démonstration 2.6 – Projection sur la base des vecteurs propres

Pour résoudre le problème on va décomposé le vecteur  $\mathbf{u}$  sur **la base des modes propres du système homogène et sans amortissement associé** :

$$\begin{aligned} \mathbf{M} \sum_{i=1}^n \ddot{\phi}_i \mathbf{X}_i + \mathbf{C} \sum_{i=1}^n \dot{\phi}_i \mathbf{X}_i + \mathbf{K} \sum_{i=1}^n \phi_i \mathbf{X}_i &= \mathbf{0} \\ \mathbf{X}_r^T \left( \mathbf{M} \sum_{i=1}^n \ddot{\phi}_i \mathbf{X}_i + \mathbf{C} \sum_{i=1}^n \dot{\phi}_i \mathbf{X}_i + \mathbf{K} \sum_{i=1}^n \phi_i \mathbf{X}_i \right) &= \mathbf{0} \\ \sum_{i=1}^n \left( \ddot{\phi}_i \underbrace{\mathbf{X}_r^T \mathbf{M} \mathbf{X}_i}_{\begin{array}{l} = 0 \text{ si } r \neq i \\ = 1 \text{ si } r = i \end{array}} + \dot{\phi}_i \underbrace{\mathbf{X}_r^T \mathbf{C} \mathbf{X}_i}_{\begin{array}{l} = 0 \text{ si } r \neq i \\ = c_i \text{ si } r = i \end{array}} + \phi_i \underbrace{\mathbf{X}_r^T \mathbf{K} \mathbf{X}_i}_{\begin{array}{l} = 0 \text{ si } r \neq i \\ = \Omega_i^2 \text{ si } r = i \end{array}} \right) &= \mathbf{0} \end{aligned}$$

$$\boxed{\ddot{\phi} + 2\zeta_i \Omega_i \dot{\phi} + \Omega_i^2 \phi = 0, \quad i = 1, \dots, n}$$

Les conditions initiales se traitent comme dans le cas sans amortissement.

Finalement le problème de dimension  $n$  initial est équivalent aux  $n$  sous-problèmes suivants :

$$\left\{ \begin{array}{l} \ddot{\phi}_i + 2\zeta_i \Omega_i \dot{\phi}_i + \Omega_i^2 \phi_i = 0 \quad i = 1, \dots, n \\ \phi_i(t=0) = \underbrace{\mathbf{X}_i^T \mathbf{M} \mathbf{u}_0}_{\phi_{j0}}, \quad \dot{\phi}_i(t=0) = \underbrace{\mathbf{X}_i^T \mathbf{M} \dot{\mathbf{u}}_0}_{\dot{\phi}_{j0}} \end{array} \right.$$

# Cas des systèmes dissipatifs

## Calcul de la réponse forcée harmonique

- Oscillations **forcées d'un système à  $n$  DDLs avec amortissements visqueux, soumis à des forces harmoniques**, décrites par les équations du mouvement suivantes :

$$\mathbf{M}\ddot{\mathbf{u}} + \mathbf{C}\dot{\mathbf{u}} + \mathbf{K}\mathbf{u} = \mathbf{F}e^{j\omega t}$$

- La **solution stationnaire** recherchée sous la forme  $\hat{\mathbf{u}} = \hat{\mathbf{U}}e^{j\omega t}$   
⇒ Le problème consiste alors à **identifier le vecteur des amplitudes complexes  $\hat{\mathbf{U}}$**
- Décomposition modale ⇒  $\hat{\mathbf{U}} = \sum_i \phi_i \mathbf{X}_i$  + orthogonalité des formes propres  $\mathbf{X}_i$  :

$$\phi_i = \frac{F_i/k_i}{1 - (\omega/\Omega_i)^2 + 2j\zeta_i\omega/\Omega_i} \quad \text{où} \quad F_i = \mathbf{X}_i^T \mathbf{F} \quad i = 1, \dots, n$$

où les termes  $F_i$  sont appelés **forces modales**.

### Remarque

Les amplitudes modales sont maintenant fonctions de la pulsation de forçage  $\omega$

## Démonstration 2.7

On doit résoudre, par décomposition modale, l'équation suivante :

$$\mathbf{M}\ddot{\mathbf{u}} + \mathbf{C}\dot{\mathbf{u}} + \mathbf{K}\mathbf{u} = \mathbf{F} \cos(\omega t) \implies \boxed{\mathbf{M}\ddot{\mathbf{u}} + \mathbf{C}\dot{\mathbf{u}} + \mathbf{K}\mathbf{u} = \mathbf{F}e^{j\omega t}}$$

On cherche une solution stationnaire sous la forme  $\hat{\mathbf{u}} = \hat{\mathbf{U}}e^{j\omega t}$  qui est introduite dans l'équation du mouvement. Ce qui donne :

$$\boxed{(-\omega^2 \mathbf{M} + j\omega \mathbf{C} + \mathbf{K}) \hat{\mathbf{U}} = \mathbf{F}}$$

Pour résoudre le problème on va décomposé le vecteur d'amplitudes complexes  $\hat{\mathbf{U}}$  sur la base des modes propres du système homogène et sans amortissement associé en posant :

$$\boxed{\hat{\mathbf{U}} = \sum_i \phi_i \mathbf{X}_i}$$

## Démonstration 2.7

On obtient :

$$\left( -\omega^2 \mathbf{M} + j\omega \mathbf{C} + \mathbf{K} \right) \sum_i^n \phi_i \mathbf{X}_i = \mathbf{F}$$

$$\mathbf{X}_r^T \left( -\omega^2 \mathbf{M} + j\omega \mathbf{C} + \mathbf{K} \right) \sum_i^n \phi_i \mathbf{X}_i = \mathbf{X}_r^T \mathbf{F}$$

$$\sum_i^n \left( -\omega^2 \mathbf{X}_r^T \mathbf{M} \mathbf{X}_i + j\omega \mathbf{X}_r^T \mathbf{C} \mathbf{X}_i + \mathbf{X}_r^T \mathbf{K} \mathbf{X}_i \right) \phi_i = \mathbf{X}_r^T \mathbf{F}$$

$$\boxed{\left( -\omega^2 + c_{ij} \omega + \Omega_i^2 \right) \phi_i = F_i, \quad i = 1, \dots, n}$$

En divisant par  $\Omega_i^2$ , le problème de dimension  $n$  initial est équivalent aux  $n$  sous-problèmes suivants :

$$\phi_i = \frac{F_i / \Omega_i}{1 - (\omega / \Omega_i)^2 + 2j\zeta_i \omega / \Omega_i} = \frac{F_i / k_i}{1 - (\omega / \Omega_i)^2 + 2j\zeta_i \omega / \Omega_i} = U_i^{\text{st}} A_{\omega, i} = U_i^{\text{st}} \beta_i e^{-j\varphi_i}$$

Finalement la réponse stationnaire s'écrit :

$$\boxed{\mathbf{u} = \text{Re} [\hat{\mathbf{u}}] = \text{Re} [\hat{\mathbf{U}} e^{j\omega t}] = \sum_i^n \text{Re} \left[ U_i^{\text{st}} \beta_i e^{j(\omega t - \varphi_i)} \right] \mathbf{X}_i = \sum_i^n U_i^{\text{st}} \beta_i \cos(\omega t - \varphi_i) \mathbf{X}_i}$$

# Cas des systèmes dissipatifs

## Calcul de la réponse forcée harmonique

$$\hat{\mathbf{U}} = \sum_i^n \phi_i(\omega) \mathbf{X}_i = \sum_i^n \frac{F_i/k_i}{1 - (\omega/\Omega_i)^2 + 2j\zeta_i\omega/\Omega_i} \mathbf{X}_i$$

**Hypothèse** : au niveau de la résonance du  $i$ -ième mode on a  $\hat{\mathbf{U}} \approx \phi_i(\omega) \mathbf{X}_i$

⇒ Expressions analytiques approchées :

- De la **pulsations de résonance** :

$$\omega_i^{re} = \Omega_i \sqrt{1 - 2\zeta_i^2} \quad i = 1, \dots, n$$

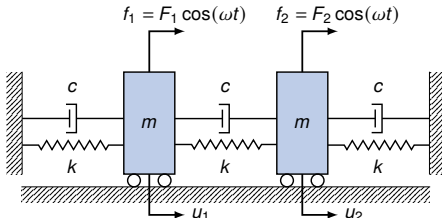
- Du maximums de l'**amplitude de chaque pic**. Pour la  $i$ -ième composante de  $\hat{\mathbf{U}}$  on a :

$$|\hat{U}_k|_{\max} \approx |\phi_i(\omega_i^{re}) X_i| = \frac{F_i/k_i}{2\zeta_i \sqrt{1 - \zeta_i^2}} |X_i| \quad i = 1, \dots, n$$

**Travail personnel** : démontrer les résultats précédents.

# Cas des systèmes dissipatifs

## Calcul de la réponse forcée harmonique



L'analyse modale conduit à :

$$k_i = \Omega_i^2, \quad c_1 = \frac{c}{m}, \quad c_2 = \frac{3c}{m}, \quad \zeta_i = \frac{1}{2} \frac{c_i}{\Omega_i}, \quad \phi_i = \frac{F_i / \Omega_i}{1 - (\omega / \Omega_i)^2 + 2j\zeta_i \omega / \Omega_i} \quad (i = 1, 2)$$

$$\hat{U}_1 = \frac{1}{\sqrt{2m}} (\phi_1 + \phi_2) = \frac{(2F_1 + F_2) k - F_1 m \omega^2 + jc (2F_1 + F_2) \omega}{(jc\omega + k - m\omega^2) (3jc\omega + 3k - m\omega^2)}$$

$$\hat{U}_2 = \frac{1}{\sqrt{2m}} (\phi_1 - \phi_2) = \frac{(F_1 + 2F_2) k - F_2 m \omega^2 + jc (F_1 + 2F_2) \omega}{(jc\omega + k - m\omega^2) (3jc\omega + 3k - m\omega^2)}$$

Pulsations propres normalisées :

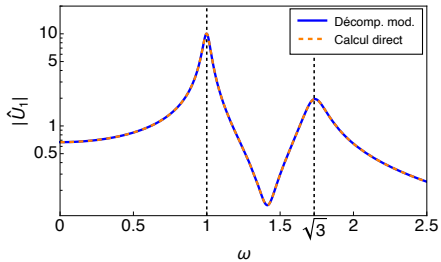
$$\Omega_1^2 = \frac{k}{m}, \quad \Omega_2^2 = \frac{3k}{m}$$

Vecteurs propres normalisés :

$$\mathbf{x}_1 = \frac{1}{\sqrt{2m}} \begin{pmatrix} 1 \\ 1 \end{pmatrix}, \quad \mathbf{x}_2 = \frac{1}{\sqrt{2m}} \begin{pmatrix} 1 \\ -1 \end{pmatrix}$$

# Cas des systèmes dissipatifs

## Calcul de la réponse forcée harmonique

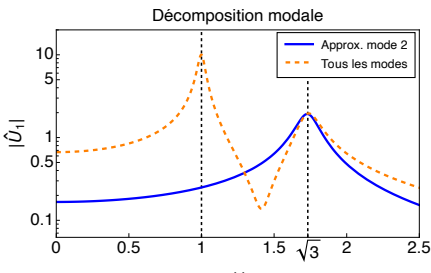
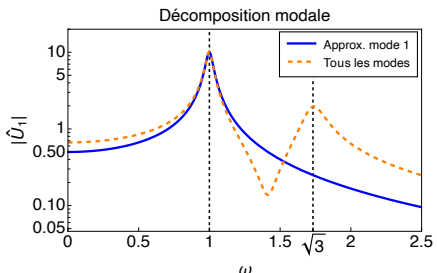


Approximation à la **résonance du mode 1** :

$$\hat{U}_1 \approx \frac{\phi_1}{\sqrt{2m}}, \quad \hat{U}_2 \approx \frac{\phi_1}{\sqrt{2m}}$$

Approximation à la **résonance du mode 2** :

$$\hat{U}_1 \approx \frac{\phi_2}{\sqrt{2m}}, \quad \hat{U}_2 \approx -\frac{\phi_2}{\sqrt{2m}}$$



# Digression sur la notion d'excitation par mouvement des supports

## Équations du mouvement

$$\mathbf{M}\ddot{\mathbf{u}} + \mathbf{C}\dot{\mathbf{u}} + \mathbf{K}\mathbf{u} = \mathbf{C}_{IF}\dot{\mathbf{u}}^{gr} + \mathbf{K}_{IF}\mathbf{u}^{gr}$$

où  $\mathbf{K}_{IF}$  et  $\mathbf{C}_{IF}$  représentent des matrices de raideur et d'amortissement, de taille  $n \times n_f$  avec :

- $n$  : nombre de DDLs internes ne comprenant pas les DDLs de frontières
- $n_f$  : nombre de DDLs de frontière :

# Digression sur la notion d'excitation par mouvement des supports

## Équations du mouvement

$$M\ddot{\mathbf{u}} + C\dot{\mathbf{u}} + K\mathbf{u} = C_{IF}\dot{\mathbf{u}}^{gr} + K_{IF}\mathbf{u}^{gr}$$

où  $K_{IF}$  et  $C_{IF}$  représentent des matrices de raideur et d'amortissement, de taille  $n \times n_f$  avec :

- $n$  : nombre de DDLs internes ne comprenant pas les DDLs de frontières
- $n_f$  : nombre de DDLs de frontière :

## Définition

On note  $\mathbf{u}^{st}$  le vecteur des **déplacements statiques** défini par

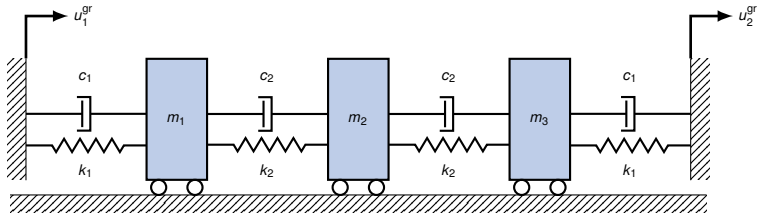
$$\mathbf{u}^{st} = K^{-1} K_{IF} \mathbf{u}^{gr}$$

Le problème est traité en termes de **déplacement relatif** en considérant le vecteur  $\mathbf{u}^*$  :

$$\mathbf{u}^* = \mathbf{u} - \mathbf{u}^{st}$$

## Démonstration 2.8

Soit le système suivant, à 5 DDLs dont 2 de frontière (i.e.  $n = 3$  et  $n_f = 2$ ) :



Les équations du mouvement, sous forme matricielle, sont :

$$\begin{bmatrix} m_1 & 0 & 0 \\ 0 & m_2 & 0 \\ 0 & 0 & m_3 \end{bmatrix} \begin{Bmatrix} \ddot{u}_1 \\ \ddot{u}_2 \\ \ddot{u}_3 \end{Bmatrix} + \begin{bmatrix} c_1 + c_2 & -c_2 & 0 \\ -c_2 & 2c_2 & -c_2 \\ 0 & -c_2 & c_1 + c_2 \end{bmatrix} \begin{Bmatrix} \dot{u}_1 \\ \dot{u}_2 \\ \dot{u}_3 \end{Bmatrix} + \begin{bmatrix} k_1 + k_2 & -k_2 & 0 \\ -k_2 & 2k_2 & -k_2 \\ 0 & -k_2 & k_1 + k_2 \end{bmatrix} \begin{Bmatrix} u_1 \\ u_2 \\ u_3 \end{Bmatrix} = \begin{bmatrix} c_1 & 0 \\ 0 & 0 \\ 0 & c_2 \end{bmatrix} \begin{Bmatrix} \dot{u}_1^{\text{gr}} \\ \dot{u}_2^{\text{gr}} \\ \dot{u}_3^{\text{gr}} \end{Bmatrix} + \begin{bmatrix} k_1 & 0 \\ 0 & 0 \\ 0 & k_2 \end{bmatrix} \begin{Bmatrix} u_1^{\text{gr}} \\ u_2^{\text{gr}} \\ u_3^{\text{gr}} \end{Bmatrix}$$

ou encore

$$\mathbf{M}\ddot{\mathbf{u}} + \mathbf{C}\dot{\mathbf{u}} + \mathbf{K}\mathbf{u} = \mathbf{C}_{IF}\dot{\mathbf{u}}^{\text{gr}} + \mathbf{K}_{IF}\mathbf{u}^{\text{gr}}$$

# Cas d'un excitation par mouvement du support

## Proposition

Lorsque la matrice d'amortissement **C** est proportionnelle à la matrice de raideur **K** – c'est-à-dire lorsque  $\mathbf{C} = b\mathbf{K}$  – le vecteur  $\mathbf{u}^*$  s'obtient par résolution du problème matriciel suivant :

$$\mathbf{M}\ddot{\mathbf{u}}^* + \mathbf{C}\dot{\mathbf{u}}^* + \mathbf{Ku}^* = -\mathbf{M}\ddot{\mathbf{u}}^{\text{st}}.$$

où

$$\mathbf{u}^* = \mathbf{u} - \mathbf{u}^{\text{st}}$$

avec

$$\mathbf{u}^{\text{st}} = \mathbf{K}^{-1} \mathbf{K}_{/F} \mathbf{u}^{\text{gr}}$$

## Démonstration 2.9

On s'intéresse au déplacement relatif :

$$\mathbf{u}^* = \mathbf{u} - \mathbf{u}^{\text{st}} \quad \text{avec} \quad \mathbf{u}^{\text{st}} = \mathbf{K}^{-1} \mathbf{K}_{IF} \mathbf{u}^{\text{gr}}$$

On reprend l'équation du mouvement avec  $\mathbf{C} = b\mathbf{K}$  :

$$\begin{aligned} \mathbf{M}\ddot{\mathbf{u}} + \mathbf{C}\dot{\mathbf{u}} + \mathbf{K}\mathbf{u} &= \mathbf{C}_{IF}\dot{\mathbf{u}}^{\text{gr}} + \mathbf{K}_{IF}\mathbf{u}^{\text{gr}} \\ \mathbf{M}\ddot{\mathbf{u}} + b\mathbf{K}\dot{\mathbf{u}} + \mathbf{K}\mathbf{u} &= b\mathbf{K}_{IF}\dot{\mathbf{u}}^{\text{gr}} + \mathbf{K}_{IF}\mathbf{u}^{\text{gr}} \\ &= \mathbf{K} \left( b\mathbf{K}^{-1} \mathbf{K}_{IF} \dot{\mathbf{u}}^{\text{gr}} + \mathbf{K}^{-1} \mathbf{K}_{IF} \mathbf{u}^{\text{gr}} \right) \\ &= \mathbf{K} \left( b\dot{\mathbf{u}}^{\text{st}} + \mathbf{u}^{\text{st}} \right) \\ \mathbf{M}\ddot{\mathbf{u}} + \mathbf{C} \left( \dot{\mathbf{u}} - \dot{\mathbf{u}}^{\text{st}} \right) + \mathbf{K} \left( \mathbf{u} - \mathbf{u}^{\text{st}} \right) &= \mathbf{0} \end{aligned}$$

Au final, on obtient bien :

$$\boxed{\mathbf{M}\ddot{\mathbf{u}}^* + \mathbf{C}\dot{\mathbf{u}}^* + \mathbf{K}\mathbf{u}^* = -\mathbf{M}\ddot{\mathbf{u}}^{\text{st}}}$$

# Cas d'un excitation par mouvement du support

## Amplitudes modales

- Mouvement induit par des déplacements harmoniques  $\hat{\mathbf{u}}^{\text{st}} = \hat{\mathbf{U}}^{\text{st}} e^{j\omega t}$ , imposés aux supports,
- Solution recherchée sous la forme  $\hat{\mathbf{u}}^* = \hat{\mathbf{U}}^* e^{j\omega t}$ .
- En appliquant le principe de décomposition, en posant :

$$\hat{\mathbf{U}}^* = \sum_i \phi_i \mathbf{X}_i$$

on obtient finalement les expression des amplitudes modales  $\phi_i$

$$\phi_i = \frac{(\omega/\Omega_i)^2 \hat{U}_i^{\text{st}}}{1 - (\omega/\Omega_i)^2 + 2j\zeta_i \omega/\Omega_i} \quad \text{où} \quad \hat{U}_i^{\text{st}} = \mathbf{X}_i^T \mathbf{M} \hat{\mathbf{U}}^{\text{st}} \quad i = 1, \dots, n$$

## Démonstration 2.10

En introduisant  $\hat{\mathbf{u}}^{\text{st}} = \hat{\mathbf{U}}^{\text{st}} e^{j\omega t}$  et  $\hat{\mathbf{u}}^* = \hat{\mathbf{U}}^* e^{j\omega t}$  dans  $\mathbf{M}\ddot{\mathbf{u}}^* + \mathbf{C}\dot{\mathbf{u}}^* + \mathbf{K}\mathbf{u}^* = -\mathbf{M}\ddot{\mathbf{u}}^{\text{st}}$  on obtient :

$$\boxed{(-\omega^2 \mathbf{M} + j\omega \mathbf{C} + \mathbf{K}) \hat{\mathbf{U}}^* = \omega^2 \mathbf{M} \hat{\mathbf{U}}^{\text{st}}}$$

Puis en introduisant  $\hat{\mathbf{U}}^* = \sum_i \phi_i \mathbf{X}_i$  dans cette dernière on obtient :

$$(-\omega^2 \mathbf{M} + j\omega \mathbf{C} + \mathbf{K}) \sum_i^n \phi_i \mathbf{X}_i = \omega^2 \mathbf{M} \hat{\mathbf{U}}^{\text{st}}$$

$$\mathbf{X}_r^T (-\omega^2 \mathbf{M} + j\omega \mathbf{C} + \mathbf{K}) \sum_i^n \phi_i \mathbf{X}_i = \omega^2 \mathbf{X}_r^T \mathbf{M} \hat{\mathbf{U}}^{\text{st}}$$

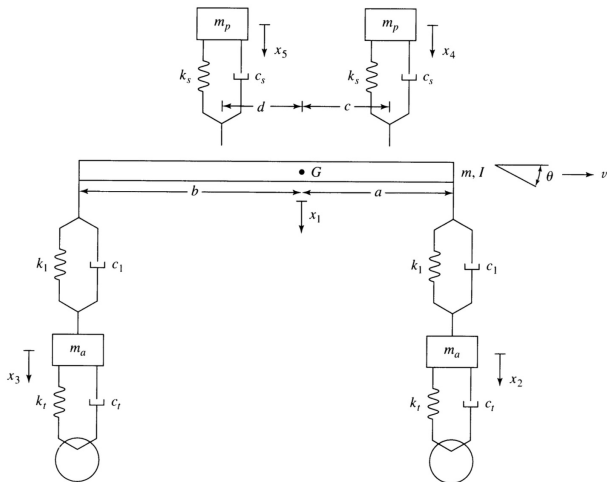
$$\sum_i^n \left( -\omega^2 \mathbf{X}_r^T \mathbf{M} \mathbf{X}_i + j\omega \mathbf{X}_r^T \mathbf{C} \mathbf{X}_i + \mathbf{X}_r^T \mathbf{K} \mathbf{X}_i \right) \phi_i = \omega^2 \mathbf{X}_r^T \mathbf{M} \hat{\mathbf{U}}^{\text{st}}$$

$$\boxed{(-\omega^2 + 2j\zeta_i \omega \Omega_i + \Omega_i^2) \phi_i = \omega^2 \hat{U}_i^{\text{st}}, \quad i = 1, \dots, n}$$

En divisant par  $\Omega_i^2$ , le problème de dimension  $n$  initial est équivalent aux  $n$  sous-problèmes suivants :

$$\phi_i = \frac{(\omega/\Omega_i)^2 \hat{U}_i^{\text{st}}}{1 - (\omega/\Omega_i)^2 + 2j\zeta_i \omega/\Omega_i} \quad \text{où} \quad \hat{U}_i^{\text{st}} = \mathbf{X}_i^T \mathbf{M} \hat{\mathbf{U}}^{\text{st}} \quad i = 1, \dots, n$$

## Cas d'un excitation par mouvement du support



**Figure 2.6-** Modèle simplifié d'un véhicule automobile (étudié en TP sur Matlab).

-  Ferdinand P. BEER : *Mechanics of materials*. McGraw-Hill, New York, 6th ed édition, 2011. ISBN 978-0-07-338028-5.
-  Paolo L. GATTI : *Applied Structural and Mechanical Vibrations : Theory, Methods*. CRC Press, Taylor & Francis Group, deuxième édition, 2014.
-  M. GÉRADIN et D. RIXEN : *Mechanical Vibrations : Theory and Application to Structural Dynamics*. Wiley, Paris, 1994.
-  James M. GERE et Barry J. GOODNO : *Mechanics of Materials*. Global Engineering, brief édition, 2012.
-  K. G. GRAFF : *Wave Motion in Elastic Solids*. London, Oxford University Press, 1991.
-  G. KELLY : *Mechanical Vibrations, Theory and Applications*. McGraw-Hill, deuxième édition, 2000.
-  G. KELLY : *Green's functions with applications*. Chapman & Hall/CRC, deuxième édition, 2015.
-  J. C PASCAL : *Vibration et acoustique*. Polycopié de cours de l'ENSIM, Le Mans, 2008.
-  Singiresu S. RAO : *Vibration of continuous systems*. John Wiley & Sons, 2nd édition, 2019.
-  S. TIMOSHENKO, D. H. YOUNG et Weaver W. : *Vibration Problem in Engineering*. John Wiley and Sons, Inc., 1990.